

# Gamma-ray line from electroweakly interacting non-abelian **spin-1** dark matter

~ガンマ線の単色ピークに注目した 電弱スピン 1 暗黒物質の探索~

藤原素子 (名古屋大学)

共同研究者: 阿部智広 (東京理科大学)  
久野純治 (KMI,名古屋大学., Kavli iPMU)  
松下康平 (名古屋大学)

参考文献: T. Abe, **MF**, J. Hisano, K. Matsushita, [[arXiv:2107.10029](#)]

# やったこと

電弱相互作用を持つ **スピン 1** の暗黒物質について、  
対消滅に由来する **ガンマ線 単色ピーク** の探索可能性を明らかにしました

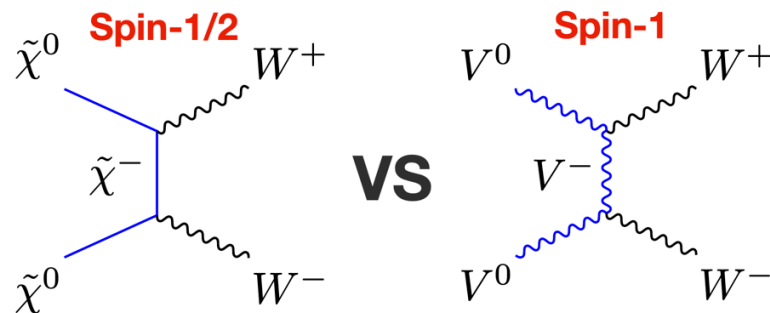
裏テーマ: 電弱 暗黒物質のスピン識別

{ 異なるスピン (**スピン 1/2**)  
同じ電弱相互作用 ( $SU(2)_L$  三重項,  $Y=0$ )

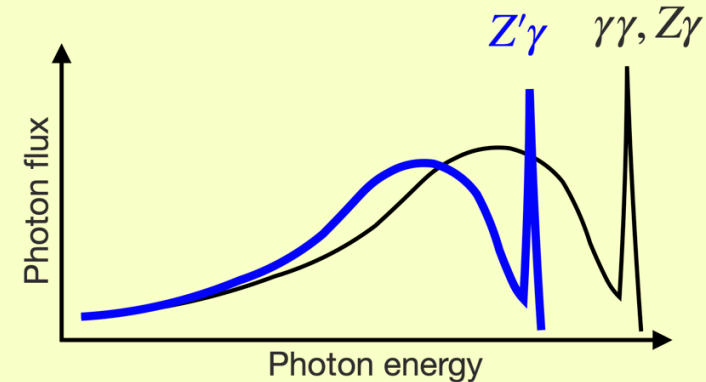
を持つ暗黒物質と予言を比較し、識別可能性を調査



- 定量的識別: 他のスピンの場合より大きな対消滅断面積を予言
- 定性的識別: 特徴的なダブルピークのガンマ線スペクトル



質量スペクトルを  
再構築可能!



# 暗黒物質

## 暗黒物質(DM)とは?

私たちの宇宙の見えない(= dark な)未知の重力源

- 宇宙のエネルギー密度の 1/4 を占める
- 電氣的に中性
- 構造形成時に非相対論的
- 安定 or 宇宙年齢に比べて長寿命

## DM 候補?

DM の質量・相互作用は膨大な可能性がある

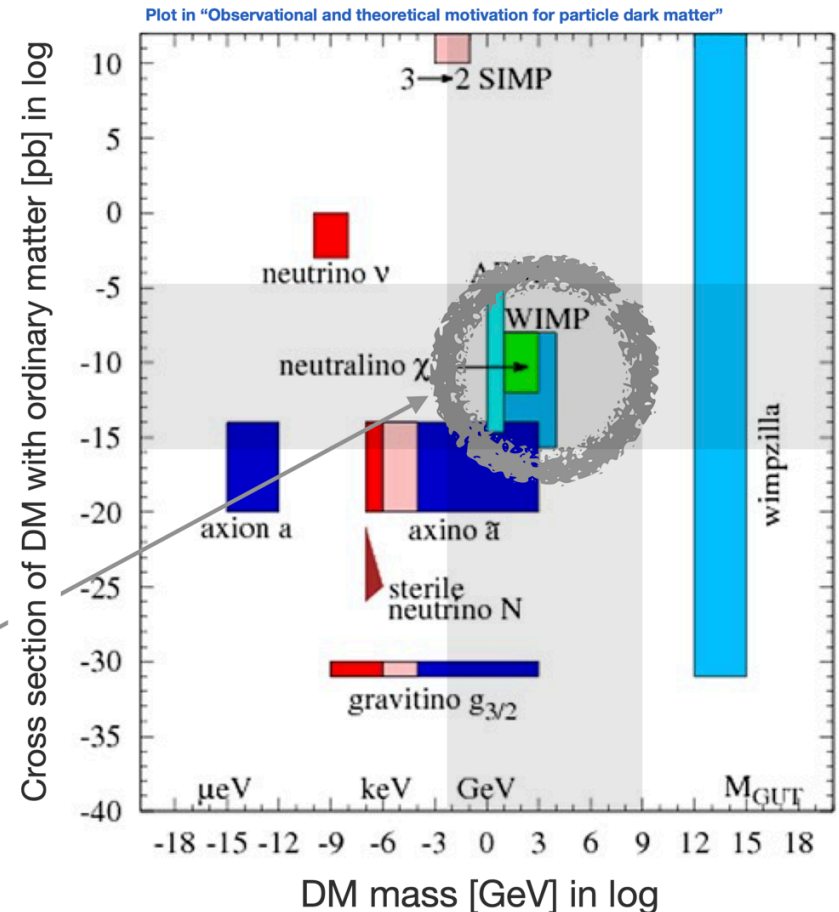
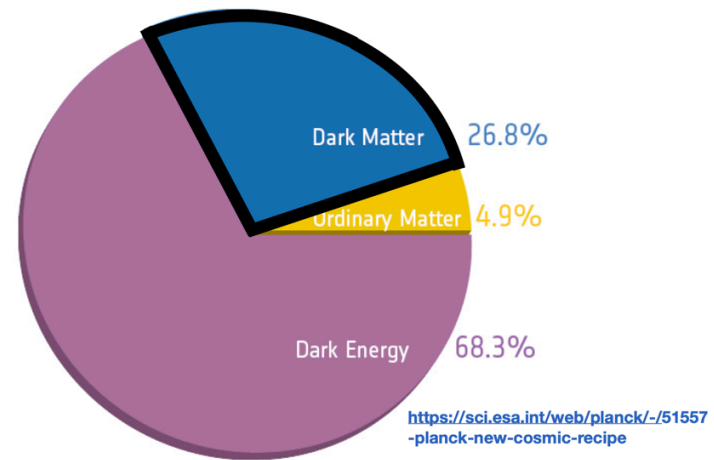
最終目標: **DM の相互作用理論を特定すること**

→ 新物理を探る重要な手がかりになる

DM の特定には、各候補の性質を調べておくことが重要

## Weakly Interacting Massive Particle

- 膨張宇宙における消え残りとして DM を説明
- 様々な相互作用過程を実験的に探索可能



# 電弱相互作用する DM

仮定: DM =  $SU(2)_L$  の多重項 (=電弱 DM)

- DM-物質の結合: 電弱相互作用
- DM の質量:  $\mathcal{O}(1)$  TeV (適切な DM エネルギー密度を説明するため)

➡ **DM のスピン** を決めれば DM の相互作用理論が決定

Table (Partially modified) from [M. Farina, D. Pappadopulo, A. Strumia (2013)]

|          | Quantum numbers |          |      | DM mass<br>[TeV] | $m_{\pm} - m_{\text{DM}}$<br>[MeV] |
|----------|-----------------|----------|------|------------------|------------------------------------|
|          | $SU(2)_L$       | $U(1)_Y$ | Spin |                  |                                    |
| Higgsino | <b>2</b>        | 1/2      | 0    | 0.54             | 350                                |
|          | <b>2</b>        | 1/2      | 1/2  | 1.1              | 341                                |
| Wino     | <b>3</b>        | 0        | 0    | 2.5              | 166                                |
|          | <b>3</b>        | 0        | 1/2  | 2.7              | 166                                |
|          |                 | ⋮        |      | ⋮                | ⋮                                  |

$m_{\text{DM}}$  : DM 質量

$m_{\pm}$  : 多重項の電荷を持った成分の質量

従来の 電弱 DM の研究はスピン 0, 1/2 に特化される傾向にあった (∵ スピン 1 DM の模型構築は工夫が必要)

→ スピン 1 のベクトル粒子が 電弱 DM になるシナリオは可能か?

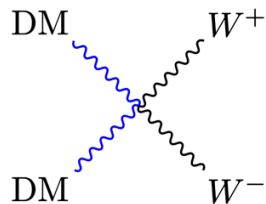
他のスピンを持つ DM との識別は?

# スピン 1 のベクトル DM 理論

## 余剰次元理論

## くりこみ可能な理論

- 具体的な模型？ 平坦な5次元時空 + 境界への局在項 ???  
[T. Flacke, A. Menon, D. J. Phalen (2009)] [T. Flacke, D. W. Kang, K. Kong, G. Mohlabeng, S. C. Park (2017)]
- ベクトル粒子の起源？ 電弱ベクトルの Kaluza-Klein 粒子 ???
- DM の安定性？  $y$  パリティ ???
- DM の電弱相互作用？  $y$  パリティを保存する電弱相互作用 ???



- △ くりこみ不可能で予言能力がない
- △ 無限個の粒子が理論に存在し、解析が大変

## 【 動機 】

くりこみ可能な理論模型を使って、**スピン1** の電弱 DM の現象論・性質・探索可能性を一般的に、見通し良く明らかにしたい

→ 電弱 DM 候補の**スピンの識別可能性**?

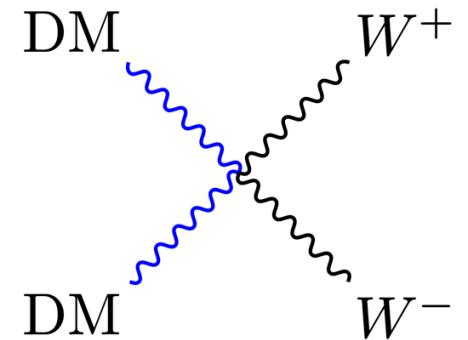
直接探索実験・コライダー実験 → PPP2020 松下康平さんのポスター発表

間接探索実験 (ガンマ線 単色ピーク) → 今日のトーク、**電弱相互作用**の性質が鍵を握る

# ■ 目次

- ✓ ● インTRODクシヨN
- 電弱相互作用するスピン1 DM 模型
- DM 対消滅のガンマ線 単色ピーク探索  
~電弱 DM のスピン識別可能性~
- まとめ

# 電弱相互作用する スピン1 DM 模型



# スピン1 DM の模型構築

## 模型構築の方針

- 電弱相互作用を持つDMの物理を調べたい
- 電弱ベクトルの KK-tower だけで十分

|        |                |           |              |           |           |             |
|--------|----------------|-----------|--------------|-----------|-----------|-------------|
|        | ⋮              | ⋮         | ⋮            | ⋮         | ⋮         |             |
| 2-mode | $\gamma^{(2)}$ | $Z^{(2)}$ | $W^{\pm(2)}$ | $h^{(2)}$ | $f^{(2)}$ | $Z_2$ -even |
| 1-mode | $\gamma^{(1)}$ | $Z^{(1)}$ | $W^{\pm(1)}$ | $h^{(1)}$ | $f^{(1)}$ | $Z_2$ -odd  |
| 0-mode | $\gamma$       | $Z$       | $W^{\pm}$    | $h$       | $f$       | $Z_2$ -even |

→ スペクトルを再現する簡単化した理論模型を考えよう

## Deconstructing dimension [N. Arkani-Hamed, A. G. Cohen, H. Georgi (2001)]

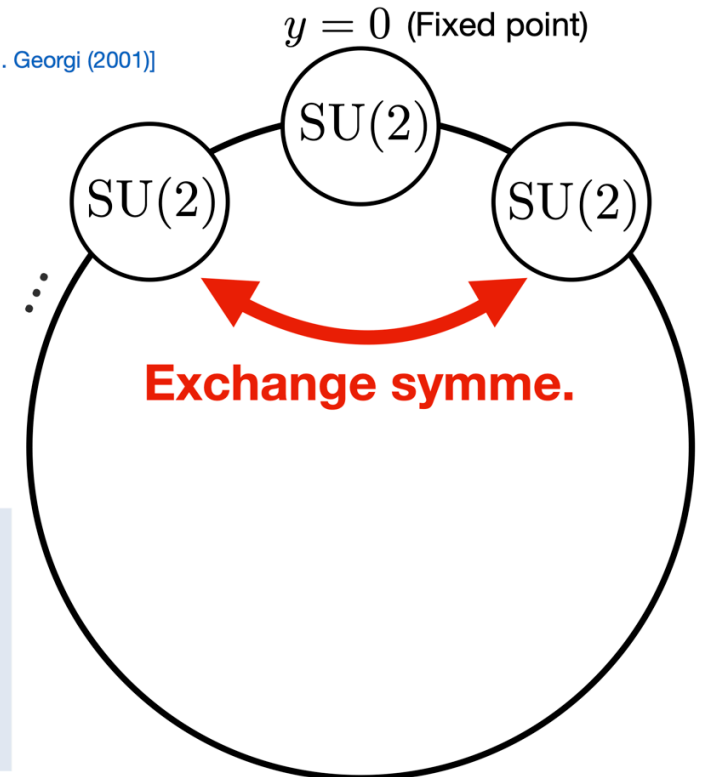
- 余剰次元理論の質量スペクトルを  
くりこみ可能な4次元理論の設定で実現する手法

特に、 $SU(2)_L$  セクターの  $\begin{cases} \cdot \text{KK-tower} \\ \cdot Z_2\text{-parity} \end{cases}$  を再現したい



**SU(2) の直積 + ゲージ群の入れ替え対称性**

ミニマルなセットアップ:  $SU(2)_0 \times SU(2)_1 \times SU(2)_2$





# 模型

[T. Abe, MF, J. Hisano, K. Matsushita (2020)]

対称性  $SU(3)_c \otimes SU(2)_0 \otimes SU(2)_1 \otimes SU(2)_2 \otimes U(1)_Y$  (4次元時空の理論)

Exchange Symme.

## 物質場

| field    | spin          | $W_{0\mu}^a \quad W_{1\mu}^a \quad W_{2\mu}^a$ |           |           |           | $U(1)_Y$       |
|----------|---------------|--|-----------|-----------|-----------|----------------|
|          |               | $SU(3)_c$                                      | $SU(2)_0$ | $SU(2)_1$ | $SU(2)_2$ |                |
| $q_L$    | $\frac{1}{2}$ | 3  | 1         | 2         | 1         | $\frac{1}{6}$  |
| $u_R$    | $\frac{1}{2}$ | 3  | 1         | 1         | 1         | $\frac{2}{3}$  |
| $d_R$    | $\frac{1}{2}$ | 3  | 1         | 1         | 1         | $-\frac{1}{3}$ |
| $\ell_L$ | $\frac{1}{2}$ | 1  | 1         | 2         | 1         | $-\frac{1}{2}$ |
| $e_R$    | $\frac{1}{2}$ | 1  | 1         | 1         | 1         | -1             |
| $\Phi_1$ | 0             | 1  | 2         | 2         | 1         | 0              |
| $\Phi_2$ | 0             | 1  | 1         | 2         | 2         | 0              |
| $H$      | 0             | 1  | 1         | 2         | 1         | $\frac{1}{2}$  |

- 各フェルミオンは標準模型フェルミオンに対応

- $U(1)_{em}$  に破るために スカラー場を導入

$$\Phi_j = \mathbf{1}\sigma_j + \tau^a \pi_j^a \quad \left[ \text{実条件: } \Phi_j = -\epsilon \Phi_j^* \epsilon \right]$$

$$H = \frac{1}{\sqrt{2}} \begin{pmatrix} i\pi^1 - \pi^2 \\ \sigma - i\pi^3 \end{pmatrix} \quad \text{実自由度4つずつ}$$

- 対称性変換

- ゲージ変換 (スカラー場)
- 入れ替え変換

$$\begin{cases} \Phi_1 \mapsto U_0 \Phi_1 U_1^\dagger \\ \Phi_2 \mapsto U_2 \Phi_2 U_1^\dagger \\ H \mapsto U_1 H \end{cases}$$

$$\Phi_1 \leftrightarrow \Phi_2, \quad W_{0\mu}^a \leftrightarrow W_{2\mu}^a$$

\*  $g_0 = g_2 (\neq g_1)$

$$U_n = \exp[i\theta_n(x)] \quad (n = 0, 1, 2)$$

- 真空期待値

$$\langle \Phi_1 \rangle = \langle \Phi_2 \rangle = \frac{1}{\sqrt{2}} \begin{pmatrix} v_\Phi & 0 \\ 0 & v_\Phi \end{pmatrix}$$

$$\langle H \rangle = \begin{pmatrix} 0 \\ \frac{v}{\sqrt{2}} \end{pmatrix}$$

$$\begin{matrix} (v_\Phi \gg v) \\ \uparrow & \uparrow \\ \mathcal{O}(1) \text{ TeV} & \mathcal{O}(100) \text{ GeV} \end{matrix}$$

## 対称性の破れ

$$[SU(2)]^3 \otimes U(1)_Y \xrightarrow{\langle \Phi_j \rangle \neq 0} SU(2) \otimes U(1)_Y \xrightarrow{\langle H \rangle \neq 0} U(1)_{em}$$

$\downarrow$   
**SU(2)<sub>L</sub>**

# Z<sub>2</sub>-odd なベクトル三重項

$$\Phi_j = \begin{pmatrix} \frac{v_\Phi + \sigma_j + i\pi_j^0}{\sqrt{2}} & i\pi_j^+ \\ i\pi_j^- & \frac{v_\Phi + \sigma_j - i\pi_j^0}{\sqrt{2}} \end{pmatrix}$$

$$W_{n\mu}^\pm = \frac{W_{n\mu}^1 \mp iW_{n\mu}^2}{\sqrt{2}} \quad (n = 0, 2)$$

## Z<sub>2</sub>-odd の粒子

$$h_D = \frac{\sigma_1 - \sigma_2}{\sqrt{2}} \quad (\text{neutral scalar})$$

SSB後の入れ替え変換:  $\sigma_1 \leftrightarrow \sigma_2, \quad W_{0\mu}^a \leftrightarrow W_{2\mu}^a$

反対称に組むと、自動的に Z<sub>2</sub>-odd な物理的状態が組める

$$V^0 = \frac{W_{0\mu}^3 - W_{2\mu}^3}{\sqrt{2}} \quad (\text{neutral vector})$$

## “V-particles”

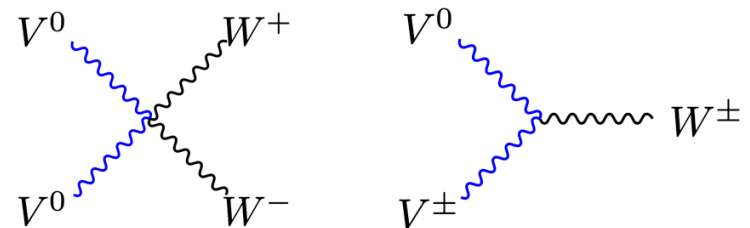
電弱ボソンの 1st KK 粒子に相当

→ SU(2)<sub>L</sub> 三重項の性質を持つ

$$V^\pm = \frac{W_{0\mu}^\pm - W_{2\mu}^\pm}{\sqrt{2}} \quad (\text{charged vector})$$

## V-particle の性質

- 非可換ベクトルの 電弱結合を持つ  
→ 電弱相互作用が物理を司る



- 質量スペクトル

- Tree-level:  $m_{V^0}^2 = m_{V^\pm}^2 = \frac{g_0^2 v_\Phi^2}{4} \quad (\equiv m_V^2)$

- Loop-level:  $\delta m \equiv m_{V^\pm} - m_{V^0} \simeq 168 \text{ MeV}$  (SU(2)<sub>L</sub> 三重項、Y=0 のスピン1/2 のDMとほぼ同じ値)

$m_V < m_{h_D}$  を仮定すれば、 $V^0$  が最も軽い Z<sub>2</sub>-odd 粒子になる

= 電弱相互作用するスピン 1 の DM候補

# ■ スペクトル

|        | Vector              | Scalar | $Z_2$ parity | Mass   |
|--------|---------------------|--------|--------------|--|
| 2nd KK | $Z' \quad W'^{\pm}$ | $h'$   | <b>even</b>  | } $\sim v_{\Phi} \quad \mathcal{O}(1) \text{ TeV}$ |
| 1st KK | $V^0 \quad V^{\pm}$ | $h_D$  | <b>odd</b>   |  |
| 0-mode | $Z \quad W^{\pm}$   | $h$    | <b>even</b>  | $\sim v \quad \mathcal{O}(100) \text{ GeV}$        |
|        | $\gamma$            |        | <b>even</b>  | massless   |

- 余剰次元理論の { **0-mode, 1st-KK mode, 2nd-KK mode** } に相当するスペクトルを再現

→  $Z_2$ -even な BSM ベクトル ( $Z', W'$ ) も存在

- 標準模型 極限:  $v_{\Phi} \rightarrow \infty$

- フェルミオンセクターは標準模型と同じ

( $\because$  フェルミオンは入れ替えられる  $SU(2)$ 対称性とは関係ない)

$$\mathcal{L} \supset -y_u \bar{q}_L \tilde{H} u_R - y_d \bar{q}_L H d_R - y_e \bar{\ell}_L H e_R + h.c. \quad \left[ \tilde{H} = \epsilon H^* \quad \epsilon = \begin{pmatrix} 0 & 1 \\ -1 & 0 \end{pmatrix} \right]$$

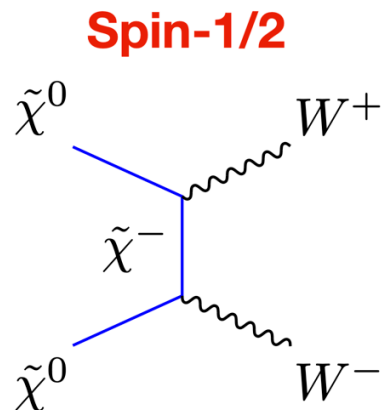
$$SU(2)_0 \otimes SU(2)_1 \otimes SU(2)_2$$

Exchanged

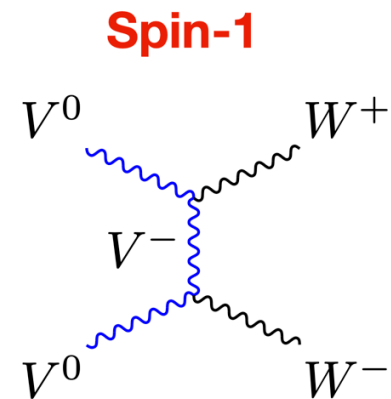
# DM 対消滅の

# ガンマ線 単色ピーク探索

~電弱 DM のスピン識別可能性~



VS



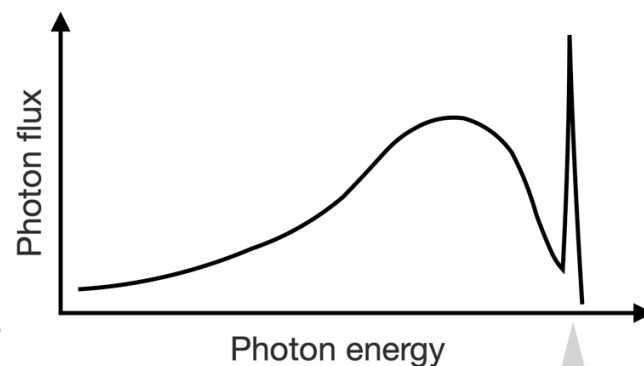
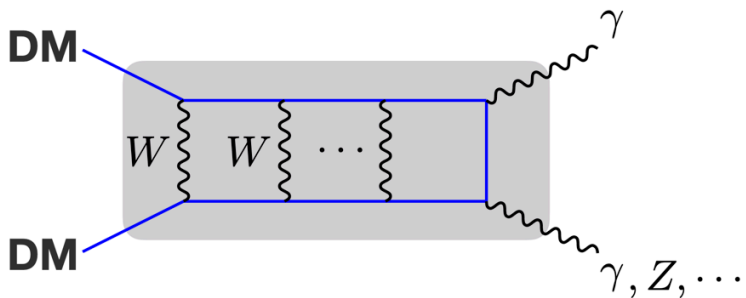
# ■ ガンマ線 単色ピーク探索

スピンの情報を実験・観測結果からどう引き出すか？

非相対論的極限でスピン依存性は散乱事象から decouple する傾向にあるため工夫が必要  
(cf. momentum or velocity suppression,  $\langle v \rangle / c \simeq 10^{-3}$ )

**DM DM  $\rightarrow X\gamma$** : 「光子をひとつ以上含む」粒子対への対消滅過程

- ガンマ線スペクトルに単色的なピークが観測される
  - 他の天体由来のノイズと識別が容易に可能
  - ピークの位置から DM 質量が再構築可能
- DM は電氣的に中性のため、光子に直接結合できない
  - 素朴には 1-loop の抑制あり
- **Sommerfeld 効果** (→次のページ)



$$E_\gamma \simeq m_{\text{DM}} \left( 1 - \frac{m_X^2}{4m_{\text{DM}}^2} \right)$$

for  $m_X \ll m_{\text{DM}}$   
 $\longrightarrow E_\gamma \simeq m_{\text{DM}}$

# Sommerfeld 効果

DM 対消滅断面積

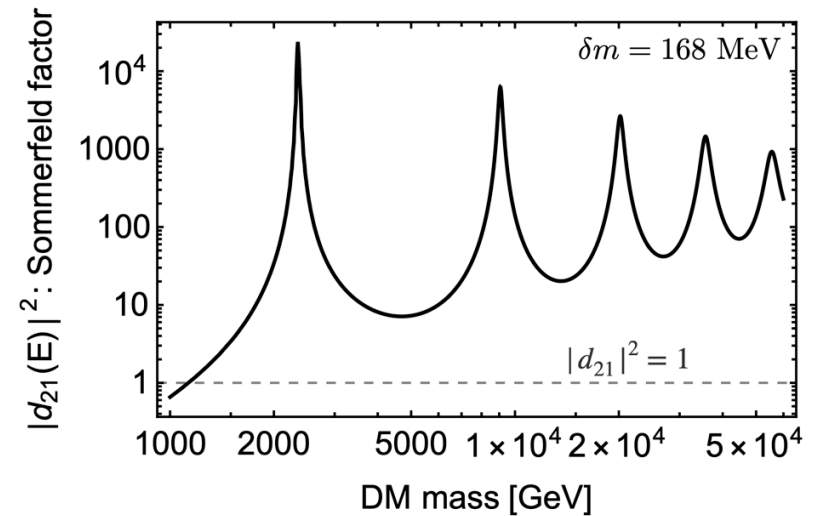
$$\langle \sigma v_{\text{rel}} \rangle_{XX'} = 2 \sum_{\alpha, \beta} \sum_{J, J_z} (\Gamma_{XX'}^J)_{\alpha\beta} d_{2\alpha}(E) d_{2\beta}^*(E)$$

$$(\alpha, \beta = 1, 2) \quad E \simeq \frac{m v_{\text{rel}}^2}{4} : \text{NR kinetic energy}$$

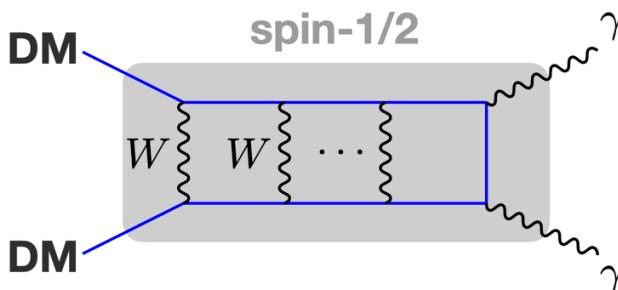
## Sommerfeld 因子

$$m_W \ll m_{\text{DM}}$$

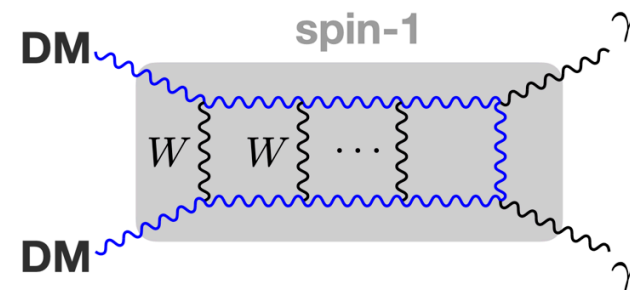
- DM 間の(有効的な)長距離力相互作用による波動関数の歪みを表す因子
- DM多重項 二体の Schrödinger eq. を数値的に評価
- 対消滅断面積が共鳴質量の付近で増幅  
→ 光子への対消滅も抑制されずに起こる
- 共鳴を決めるのは  $\left\{ \begin{array}{l} \text{二体ポテンシャルの実部} \\ \text{質量差 } \delta m \end{array} \right.$



共鳴構造にスピンの違いは現れない



SU(2)<sub>L</sub> 三重項



# Spin-1/2 vs Spin-1 (1/3)

## DM 対消滅のスピンの選択則

非相対論的

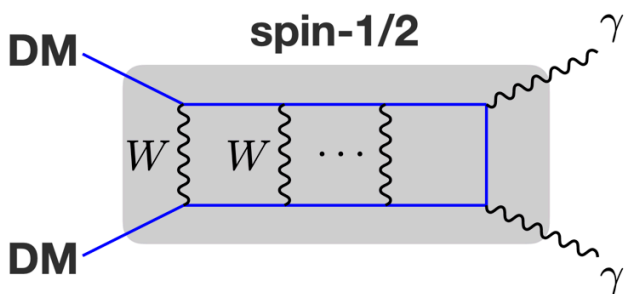
- 始状態 DM の非相対論的極限で、leading order の効果に注目
  - ポテンシャルは球対称 ( $\Leftrightarrow$  軌道角運動量は保存)
  - スピンを変えうる相互作用は運動量と結合しているため落ちる



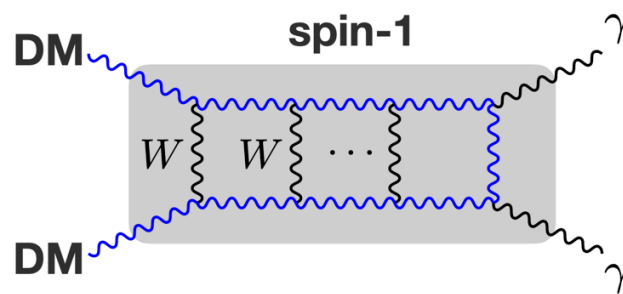
スピン角運動量が対消滅の前後で保存

→ 始状態 DM 対のスピンの情報を終状態が覚えている！

対消滅断面積にはどんな影響があるか？ (→次のページ)



SU(2)<sub>L</sub> 三重項



# Spin-1/2 vs Spin-1 (2/3)

粒子の入れ替えで S: 対称  
A: 反対称

## DM 二体状態の分類

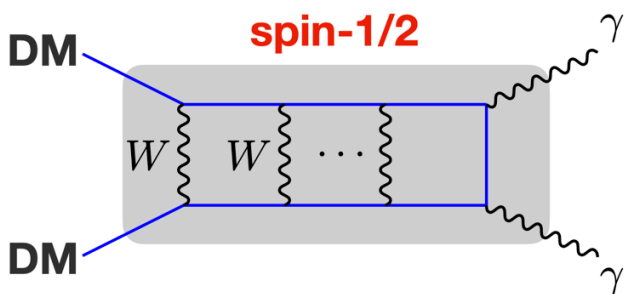
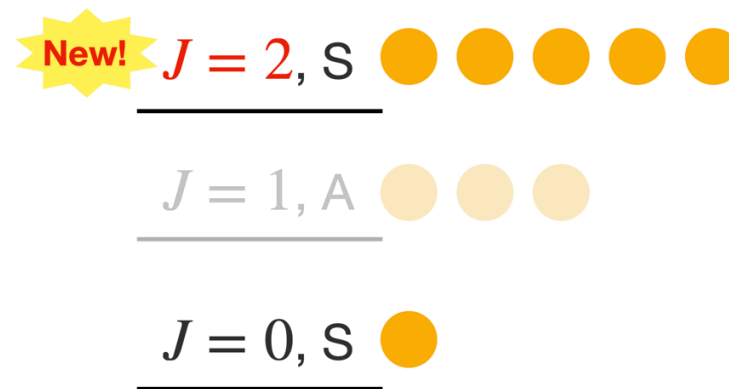
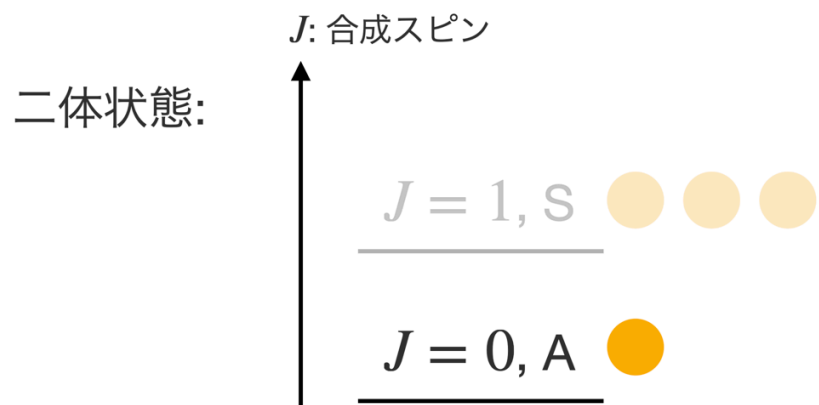
スピンの場合  $J = 2$  の状態が組める → 対消滅断面積も優位に大きいと期待

構成要素:  $\chi^0 \chi^0$  (spin-1/2, 同種粒子)

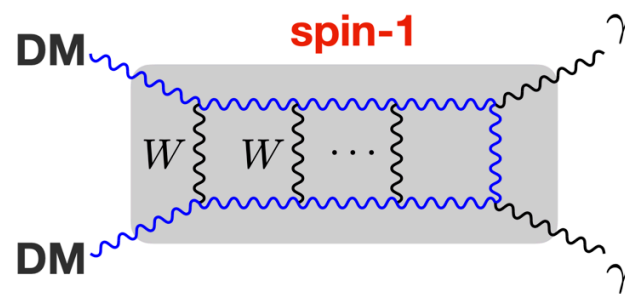
$V^0 V^0$  (spin-1, 同種粒子)

統計性: Fermi 粒子

Bose 粒子



SU(2)<sub>L</sub> 三重項





# Spin-1/2 vs Spin-1 (3/3)

## 比較 (Leading order)

- SU(2)<sub>L</sub> の性質由来の共鳴構造はほぼ同じ
- スピン1の DM 対は  $J = 2$  の状態を組める

$\times \frac{38}{9} (\simeq 4.22\dots)$  の増大!

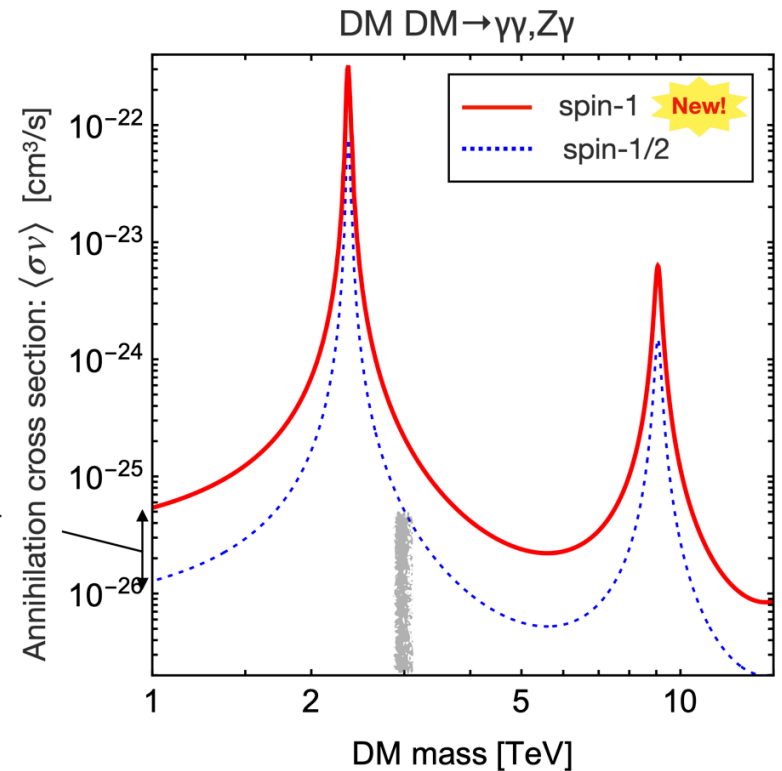
## 高次補正の影響

- EW Sudakov resummation  $\ln \frac{m_{DM}}{m_W} \times \ln \frac{m_{DM}}{E_\gamma^{res}}$
- ポテンシャル NLO 補正 → 共鳴質量をシフトしうる
  - Wino DM に関してはすでに体系的な研究あり
  - スピン1の電弱 DM においても不定性が存在 (future work)

## DM 質量の予言値

- Pure Wino DM: 2.22 TeV  $\xrightarrow{\text{Sommerfeld}}$  2.88 TeV [M. Beneke, A. Bharucha, et. al (2016)]
- EW Spin-1 DM: 3 TeV 以上  $\xrightarrow{\text{Sommerfeld}}$  ??? (現在解析中)

↑ヒッグスセクターのパラメータなどにも依存



Study of the Wino DM

Potential LO: [J. Hisano, S. Matsumoto, M. M. Nojiri, O. Saito (2005)]

Sudakov log: [T. Choen, M. Lisanti, A. Pierce, T. R. Slatyer (2013)]

[G. Ovanesyan, T. R. Slatyer, I. W. Stewart (2014)]

[G. Ovanesyan, N. L. Rodd, T. R. Slatyer, I. W. Stewart (2017)]

[M. Beneke, A. Broggio, C. Hasner, M. Vollmann (2018)]

[M. Beneke, A. Broggio, C. Hasner, K. Urban, M. Vollmann (2019)]

Potential NLO: [M. Beneke, R. Szafron, K. Urban (2020)]

さらなる決定打は？

# γ 線スペクトルで Z' 探索

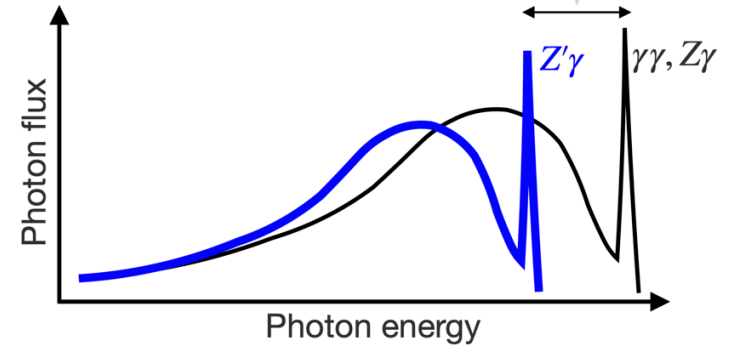
$$\Delta E_\gamma \simeq \frac{m_{Z'}^2}{4m_V}$$

- 電弱スピン 1 DM は Z' (2nd KK neutral vector)を伴う
- 新しい対消滅過程 Z'γ が開ける

ゲージ結合のユニタリティ      Z'γ へのモードが開ける条件

興味のある領域:  $m_V \lesssim m_{Z'} \lesssim 2m_V$

ピーク識別条件:  $\frac{\Delta E_\gamma}{m_V} \simeq \left(\frac{m_{Z'}}{2m_V}\right)^2 \gtrsim 0.1$



識別可能な二つのピークから  
DM, Z' 質量の再構築が可能!

## 探索可能性

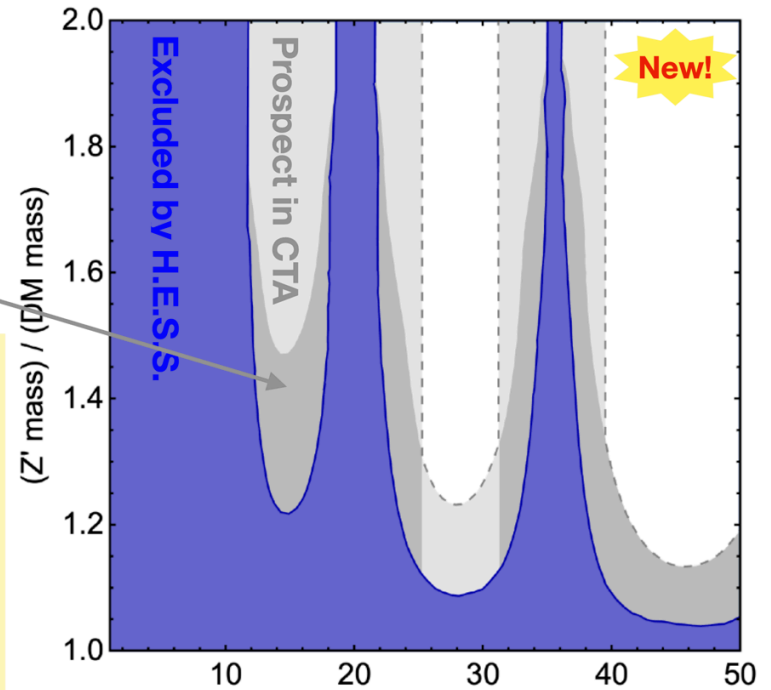
- 制限/探索可能領域はDM 密度 profile に強く依存
- 保守的な cored profile ( $r_c = 5$  kpc)を選んでも CTA 実験でダブルピークの探索が期待できる

Q. Z'γ 由来のダブルピークは スピン 1 電弱 DM に特有か?

NO. Z'γ モード自体は、Z' を含む理論なら予言されうる  
しかし、今回は 三つの増幅効果が重なり 特に探索しやすくなっている

- (1) Z' 結合の増幅 @  $m_V \simeq m_{Z'}$
- (2) EW 相互作用による Sommerfeld effect
- (3) スピン 1 DM の  $J = 2$  の部分波の寄与

$$C_{V-V+Z'} \simeq \frac{g_2}{\sqrt{\frac{m_{Z'}^2}{m_V^2} - 1}}$$



# まとめ

電弱相互作用を持つ **スピン 1** の暗黒物質について  
**ガンマ線 単色ピーク** の探索可能性を調べた

裏テーマ: 電弱 暗黒物質のスピン識別

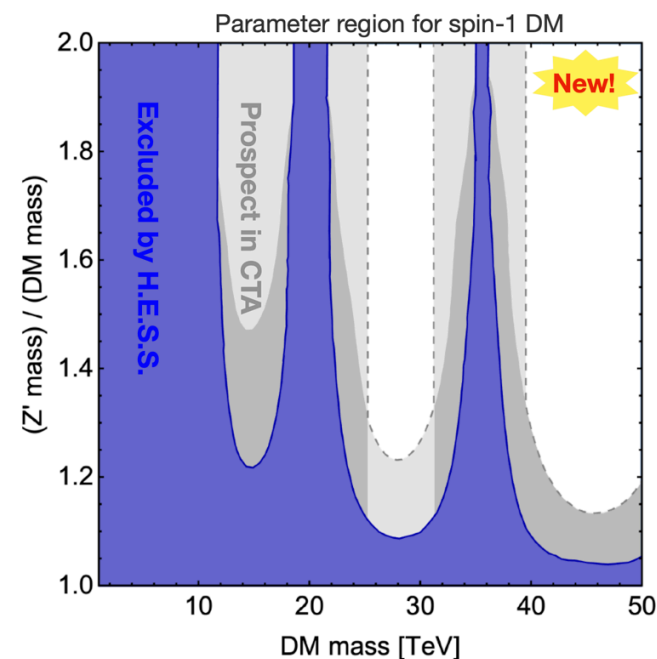
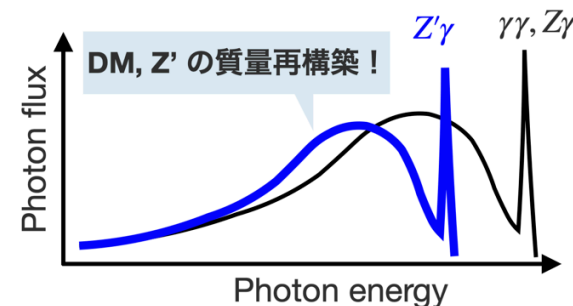
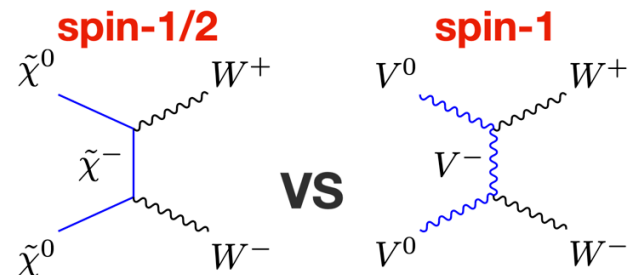
異なるスピン (**スピン 1/2**)  
 同じ電弱相互作用 ( $SU(2)_L$  三重項,  $Y=0$ )  
 を持つ暗黒物質と予言を比較

**DM DM  $\rightarrow X\gamma$  ( $X = \gamma, Z, Z'$ )**

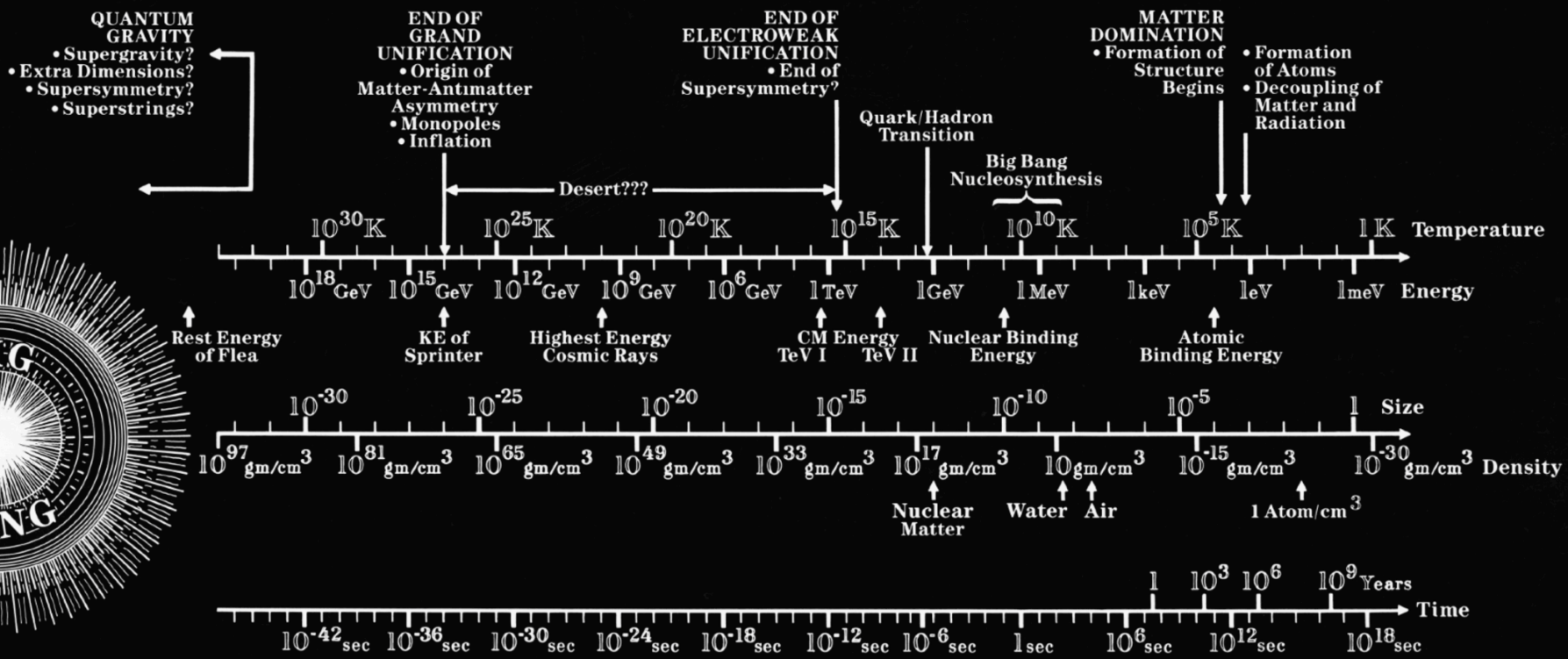
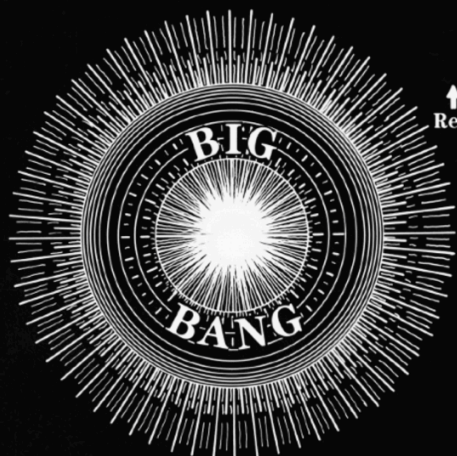
- スピン 1 の DM は  $J = 2$  の部分波も寄与  
 → スピン 1 の場合は  $\gamma\gamma, Z\gamma$  モードが  $\times \frac{38}{9} (\approx 4.22\dots)$  の増幅
- スピン 1 DM は  $Z'\gamma$  モードが新たに追加  
 → 識別できるダブルピークが CTAで探索可能  
 DM,  $Z'$  の質量再構築ができる

## Future work

- 適切なDM残存量を説明するスピン 1 の電弱 DM 質量の決定
- 余剰次元理論のセットアップへのフィードバック



# Backup



**QUANTUM GRAVITY**  
 • Supergravity?  
 • Extra Dimensions?  
 • Supersymmetry?  
 • Superstrings?

**END OF GRAND UNIFICATION**  
 • Origin of Matter-Antimatter Asymmetry  
 • Monopoles  
 • Inflation

**END OF ELECTROWEAK UNIFICATION**  
 • End of Supersymmetry?

**MATTER DOMINATION**  
 • Formation of Structure Begins  
 • Formation of Atoms  
 • Decoupling of Matter and Radiation

Rest Energy of Flea

KE of Sprinter

Highest Energy Cosmic Rays

CM Energy TeV I

CM Energy TeV II

Nuclear Binding Energy

Atomic Binding Energy

Nuclear Matter

Water

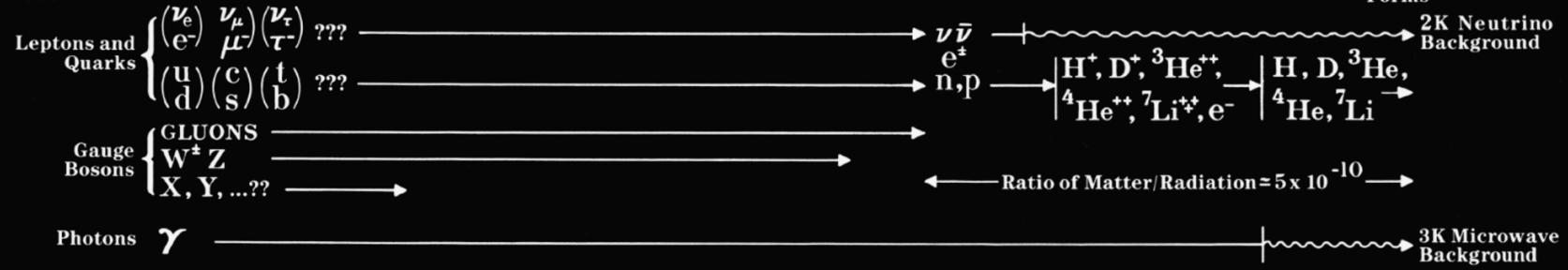
Air

1 Atom/cm<sup>3</sup>

**NOW**

Galaxy Forms  
 Solar System Forms

**CONSTITUENTS**



# Backup: プロットに使った情報

## DM 密度 profile

- Cusped profile

$$\rho_{\text{Einasto}}(r) \equiv \rho_s \exp \left[ -\frac{2}{\alpha_s} \left( \left( \frac{r}{r_s} \right)^{\alpha_s} - 1 \right) \right]$$

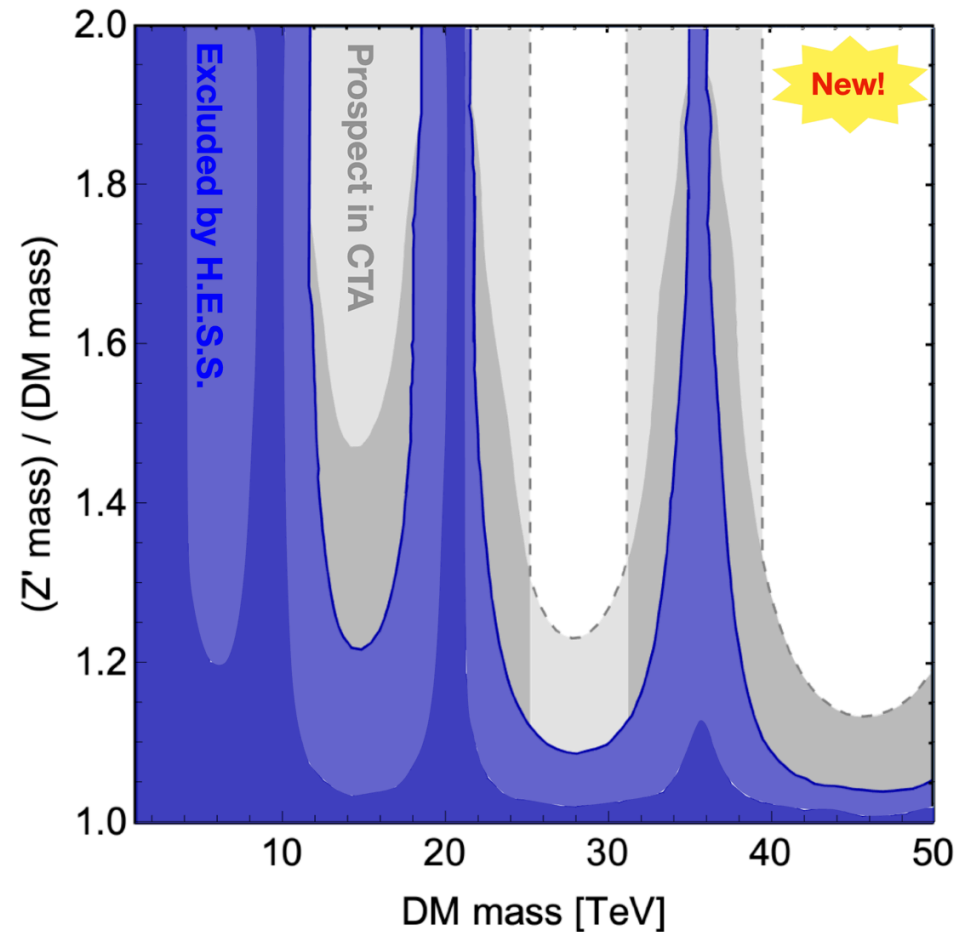
- Cored profile

$$\rho(r) = \begin{cases} \rho_{\text{Einasto}}(r) & \text{for } r > r_c, \\ \rho_{\text{Einasto}}(r_c) & \text{for } r < r_c, \end{cases} \quad (r_c: \text{コア半径})$$

| Profiles                         | Einasto | Einasto2 |
|----------------------------------|---------|----------|
| $\rho_s$ [GeV cm <sup>-3</sup> ] | 0.079   | 0.033    |
| $r_s$ [kpc]                      | 20.0    | 28.4     |
| $\alpha_s$                       | 0.17    | 0.17     |

## 実験の制限・探索可能域

- H.E.S.S. [\[H. Abdallah et al. \[HESS\] \(2018\)\]](#)  
H.E.S.S. の公式で出されている  $\langle \sigma v \rangle$  の上限を使用 (cuspedを仮定)  
cusped profile の上限を10倍し、cored profile の上限を見積もり
- Cherenkov Telescope Array (CTA) [\[A.Acharyya, et al \[CTA\] \(2021\)\]](#)  
Wino DM に関する CTA の感度のスタディを使用 [\[L. Rinchuso, et al \(2021\)\]](#)



- 現状の制限, Einasto2 [cusped]
- 現状の制限, Einasto2 [cored (estimated)]
- Single peak 探索可能域, Einasto [cored,  $r_c = 5$  kpc]
- Double peak 探索可能域, Einasto [cored,  $r_c = 5$  kpc]



# Sommerfeld Enhancement



# Two-body effective action

$$S_{\text{eff}} = \sum_{J, J_z} \int d^4 R d^3 r \Phi^{J, J_z \dagger}(R, \mathbf{r}) \cdot \left[ \left( i \partial_{R^0} + \frac{\nabla_R^2}{4m_V} + \frac{\nabla_r^2}{m_V} \right) - \hat{V}(r) + i \frac{9}{2} \hat{\Gamma}^J \delta^3(\mathbf{r}) \right] \cdot \Phi^{J, J_z}(R, \mathbf{r})$$

- $Q = 0$  two-body states:  $\Phi^{J, J_z}(R, \mathbf{r}) = \begin{pmatrix} \phi_C^{J, J_z}(R, \mathbf{r}) \\ \phi_N^{J, J_z}(R, \mathbf{r}) \end{pmatrix} \begin{matrix} \leftarrow V^- V^+ \\ \leftarrow V^0 V^0 \end{matrix}$

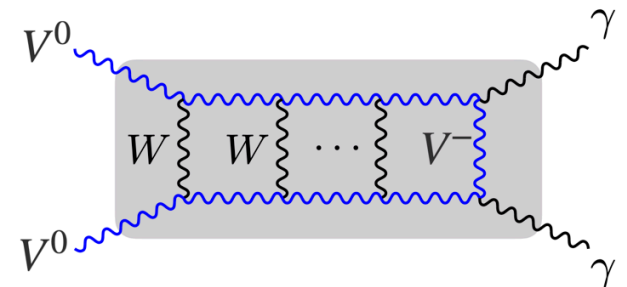
- Potential terms:

$$\hat{V}(r) = \begin{pmatrix} 2\delta m_V - \frac{\alpha_2 s_W^2}{r} - \frac{\alpha_2 c_W^2 e^{-m_Z r}}{r} & \frac{\sqrt{2} \alpha_2 e^{-m_W r}}{r} \\ \frac{\sqrt{2} \alpha_2 e^{-m_W r}}{r} & 0 \end{pmatrix} \quad \hat{\Gamma}_{\gamma\gamma}^{J=0} = \frac{2}{3} \frac{\pi \alpha_2^2}{m_V^2} \begin{pmatrix} s_W^4 & 0 \\ 0 & 0 \end{pmatrix}$$

$$\hat{\Gamma}_{\gamma\gamma}^{J=2} = \frac{32}{45} \frac{\pi \alpha_2^2}{m_V^2} \begin{pmatrix} s_W^4 & 0 \\ 0 & 0 \end{pmatrix}$$

$\alpha_2$ : SU(2)L fine structure constant

- EW int. are imprinted in the potential btw V-particles
- Off-diagonal elements ( induced by  $W$  ) mix  $\phi_C$  &  $\phi_N$   
 $\rightarrow$  DM can annihilate into  $\gamma$  with large cross section!



# Annihilation Cross Section

$$\langle \sigma v_{\text{rel}} \rangle_{XX'} = 2 \sum_{\alpha, \beta} \sum_{J, J_z} (\Gamma_{XX'}^J)_{\alpha\beta} d_{2\alpha}(E) d_{2\beta}^*(E)$$

$$\left( \begin{array}{l} r_{Z'} \equiv \frac{m_{Z'}^2}{4m_V^2} \\ g_{Z'} \equiv \frac{g_W}{\sqrt{\frac{m_{Z'}^2}{m_V^2} - 1}} \end{array} \right)$$

- Annihilation cross sections are expressed in  $\Gamma_{XX'}$  ( $XX' = \gamma\gamma, Z\gamma, Z'\gamma$ )

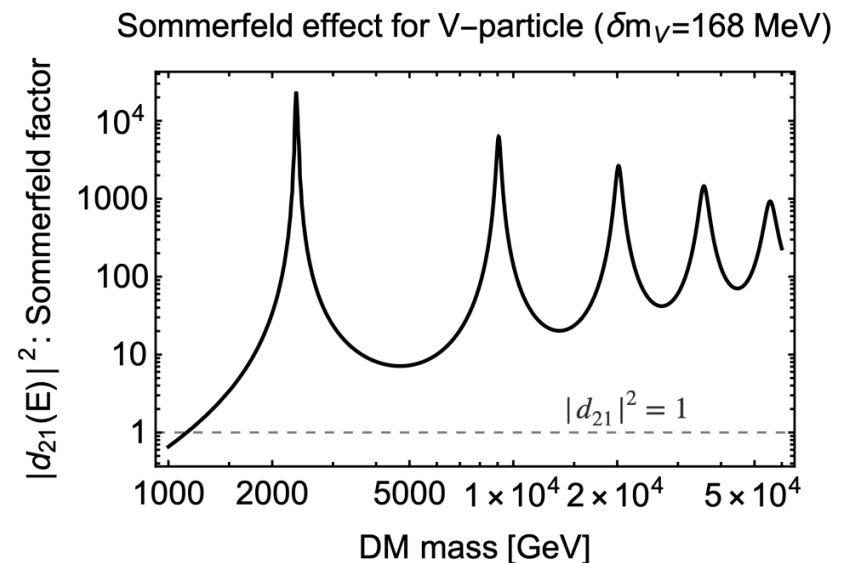
$$\hat{\Gamma}_{\gamma\gamma}^{J=0} = \frac{2\pi\alpha_2^2}{3m_V^2} \begin{pmatrix} s_W^4 & 0 \\ 0 & 0 \end{pmatrix}, \quad \hat{\Gamma}_{Z\gamma}^{J=0} = \frac{2\pi\alpha_2^2}{3m_V^2} \begin{pmatrix} 2c_W^2 s_W^2 & 0 \\ 0 & 0 \end{pmatrix}, \quad \hat{\Gamma}_{Z'\gamma}^{J=0} = \frac{1}{27} \frac{\alpha_2 g_{Z'}^2}{m_V^2} (1-r_{Z'})(3-2r_{Z'})^2 \begin{pmatrix} s_W^2 & 0 \\ 0 & 0 \end{pmatrix},$$

$$\hat{\Gamma}_{\gamma\gamma}^{J=2} = \frac{32\pi\alpha_2^2}{45m_V^2} \begin{pmatrix} s_W^4 & 0 \\ 0 & 0 \end{pmatrix}, \quad \hat{\Gamma}_{Z\gamma}^{J=2} = \frac{32\pi\alpha_2^2}{45m_V^2} \begin{pmatrix} 2c_W^2 s_W^2 & 0 \\ 0 & 0 \end{pmatrix}, \quad \hat{\Gamma}_{Z'\gamma}^{J=2} = \frac{8}{135} \frac{\alpha_2 g_{Z'}^2}{m_V^2} (1-r_{Z'})(6+3r_{Z'}+r_{Z'}^2) \begin{pmatrix} s_W^2 & 0 \\ 0 & 0 \end{pmatrix},$$

## Sommerfeld enhancement factor

$$d_{\alpha\beta}(E) \quad (\alpha, \beta = 1, 2) \quad E \simeq \frac{m v_{\text{rel}}^2}{4} : \text{NR kinetic energy}$$

- Solving Schrödinger equation numerically
- $|d_{21}|^2$  is enhanced by several orders (especially around the resonance masses)







# NLO correction for Wino DM



# NLO correction for potential

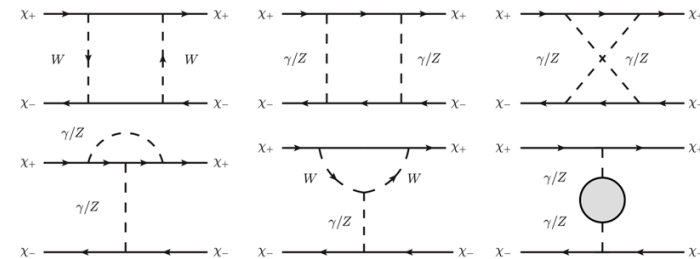
[M. Beneke, R. Szafron, K. Urban (2020)]

## 【手法】

$\chi\chi \rightarrow \chi\chi$  の振幅を運動量空間で計算

実空間に戻ってポテンシャル  $V(r)$  を求める

## 1-loop diagrams

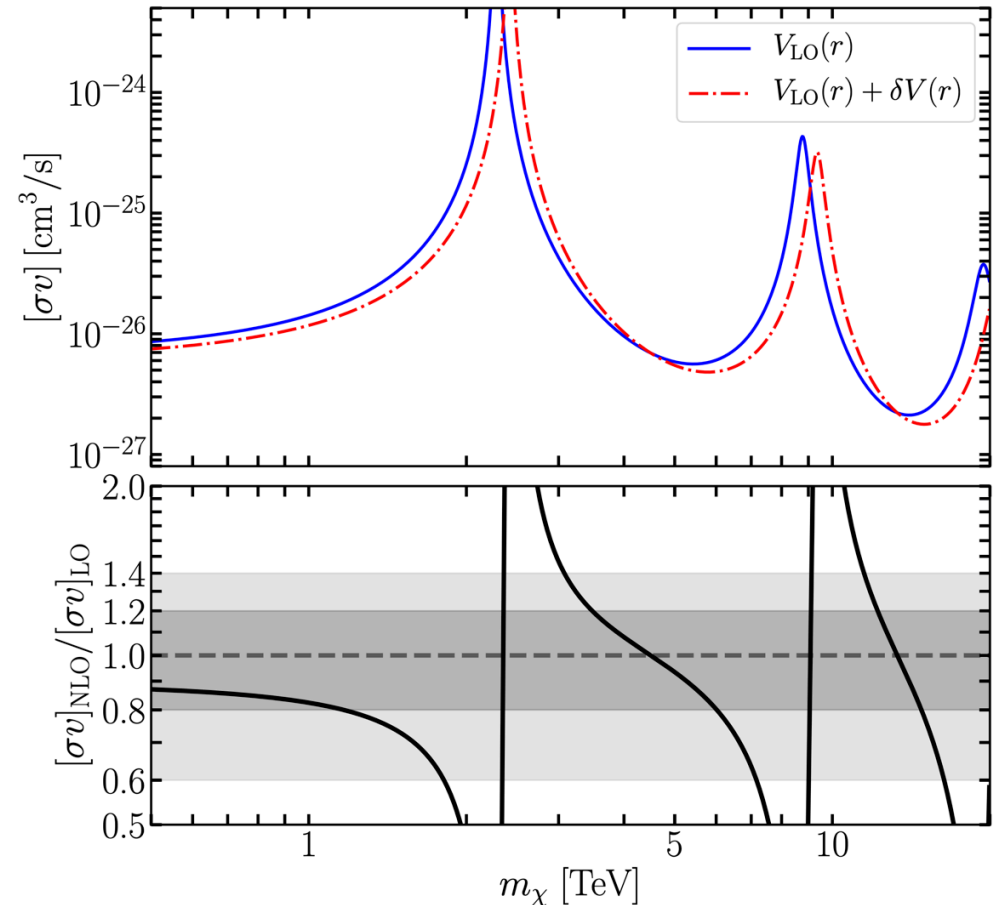


## 【結果】

Tree-level の結果と1-loop の結果を比較

共鳴質量が 3 % ほどずれる

→ 共鳴質量付近では、対消滅断面積の  
予言値が大きくなる



DM 残存量を説明する pure Wino DM の

質量は共鳴質量付近 ( $m_{\text{DM}} \simeq 3 \text{ TeV}$ )

→ 理論精度をあげた予言値導出が重要



# Our Model (more details)



# Model

## BSM Lagrangian

$$\begin{aligned}\mathcal{L} \supset & -\frac{1}{4}B_{\mu\nu}B^{\mu\nu} - \sum_{j=0}^2 \sum_{a=1}^3 \frac{1}{4}W_{j\mu\nu}^a W_j^{a\mu\nu} \\ & + D_\mu H^\dagger D^\mu H + \frac{1}{2}\text{tr}D_\mu \Phi_1^\dagger D_\mu \Phi_1 + \frac{1}{2}\text{tr}D_\mu \Phi_2^\dagger D_\mu \Phi_2 \\ & - V_{\text{scalar}},\end{aligned}$$

## Scalar potential

$$\begin{aligned}V_{\text{scalar}} = & m^2 H^\dagger H + m_\Phi^2 \text{tr} \left( \Phi_1^\dagger \Phi_1 \right) + m_\Phi^2 \text{tr} \left( \Phi_2^\dagger \Phi_2 \right) \\ & + \lambda (H^\dagger H)^2 + \lambda_\Phi \left( \text{tr} \left( \Phi_1^\dagger \Phi_1 \right) \right)^2 + \lambda_\Phi \left( \text{tr} \left( \Phi_2^\dagger \Phi_2 \right) \right)^2 \\ & + \lambda_{h\Phi} H^\dagger H \text{tr} \left( \Phi_1^\dagger \Phi_1 \right) + \lambda_{h\Phi} H^\dagger H \text{tr} \left( \Phi_2^\dagger \Phi_2 \right) + \lambda_{12} \text{tr} \left( \Phi_1^\dagger \Phi_1 \right) \text{tr} \left( \Phi_2^\dagger \Phi_2 \right).\end{aligned}$$

# Mass matrix: gauge sector

$$\mathcal{L} \supset \begin{pmatrix} W_{0\mu}^+ & W_{1\mu}^+ & W_{2\mu}^+ \end{pmatrix} \mathcal{M}_C^2 \begin{pmatrix} W_0^{-\mu} \\ W_1^{-\mu} \\ W_2^{-\mu} \end{pmatrix} + \frac{1}{2} \begin{pmatrix} W_{0\mu}^3 & W_{1\mu}^3 & W_{2\mu}^3 & B_\mu \end{pmatrix} \mathcal{M}_N^2 \begin{pmatrix} W_0^{3\mu} \\ W_1^{3\mu} \\ W_2^{3\mu} \\ B^\mu \end{pmatrix}$$

Charged vector

$$\mathcal{M}_C^2 = \frac{1}{4} \begin{pmatrix} g_0^2 v_\Phi^2 & -g_0 g_1 v_\Phi^2 & 0 \\ -g_0 g_1 v_\Phi^2 & g_1^2 (v^2 + 2v_\Phi^2) & -g_1 g_0 v_\Phi^2 \\ 0 & -g_1 g_0 v_\Phi^2 & g_0^2 v_\Phi^2 \end{pmatrix},$$

Neutral vector

$$\mathcal{M}_N^2 = \frac{1}{4} \begin{pmatrix} g_0^2 v_\Phi^2 & -g_0 g_1 v_\Phi^2 & 0 & 0 \\ -g_0 g_1 v_\Phi^2 & g_1^2 (v^2 + 2v_\Phi^2) & -g_1 g_0 v_\Phi^2 & -g_1 g' v^2 \\ 0 & -g_1 g_0 v_\Phi^2 & g_0^2 v_\Phi^2 & 0 \\ 0 & -g_1 g' v^2 & 0 & g'^2 v^2 \end{pmatrix}.$$

# Mass matrix: scalar sector

$$\mathcal{L} \supset \frac{1}{2} \begin{pmatrix} \sigma_3 & \sigma_1 & \sigma_2 \end{pmatrix} \begin{pmatrix} 2\lambda v^2 & 2vv_\Phi \lambda_{h\Phi} & 2vv_\Phi \lambda_{h\Phi} \\ 2vv_\Phi \lambda_{h\Phi} & 8v_\Phi^2 \lambda_\Phi & 4v_\Phi^2 \lambda_{12} \\ 2vv_\Phi \lambda_{h\Phi} & 4v_\Phi^2 \lambda_{12} & 8v_\Phi^2 \lambda_\Phi \end{pmatrix} \begin{pmatrix} \sigma_3 \\ \sigma_1 \\ \sigma_2 \end{pmatrix}.$$

## Quartic couplings

$$\lambda = \frac{m_h^2 \cos^2 \phi_h + m_{h'}^2 \sin^2 \phi_h}{2v^2},$$

$$\lambda_{h\Phi} = - \frac{\sin \phi_h \cos \phi_h}{2\sqrt{2}vv_\Phi} (m_{h'}^2 - m_h^2),$$

$$\lambda_\Phi = \frac{m_h^2 \sin^2 \phi_h + m_{h'}^2 \cos^2 \phi_h + m_{hD}^2}{16v_\Phi^2},$$

$$\lambda_{12} = \frac{m_h^2 \sin^2 \phi_h + m_{h'}^2 \cos^2 \phi_h - m_{hD}^2}{8v_\Phi^2}.$$

# Bounded from Below(BFB) conditions

BFB conditions in our model

$$\lambda > 0,$$

$$\lambda_\Phi > 0,$$

$$\lambda_\Phi + \frac{\lambda_{12}}{2} > 0,$$

$$\frac{\lambda_{h\Phi}}{2} + \sqrt{\lambda\lambda_\Phi} > 0,$$

$$\left\{ \begin{array}{l} \lambda_{h\Phi} \geq 0, \\ \text{or} \end{array} \right.$$

$$\left\{ \begin{array}{l} \lambda_{h\Phi} < 0 \text{ and } \lambda \left( \lambda_\Phi + \frac{\lambda_{12}}{2} \right) - \frac{\lambda_{h\Phi}^2}{2} > 0. \end{array} \right.$$

✧ We find **all the BFB conditions are automatically satisfied** by using the the expressions of scalar quartic couplings

$$\lambda = \frac{m_h^2 \cos^2 \phi_h + m_{h'}^2 \sin^2 \phi_h}{2v^2},$$

$$\lambda_\Phi = \frac{m_h^2 \sin^2 \phi_h + m_{h'}^2 \cos^2 \phi_h + m_{hD}^2}{16v_\Phi^2},$$

$$\lambda_{h\Phi} = -\frac{\sin \phi_h \cos \phi_h}{2\sqrt{2}vv_\Phi} (m_{h'}^2 - m_h^2),$$

$$\lambda_{12} = \frac{m_h^2 \sin^2 \phi_h + m_{h'}^2 \cos^2 \phi_h - m_{hD}^2}{8v_\Phi^2}.$$

# Unitarity bound for scalar quartic couplings

## Perturbative unitarity bounds

$$|\lambda| \leq 4\pi,$$


$$|\lambda_{h\Phi}| \leq 4\pi,$$

$$|\lambda_\Phi| \leq \pi,$$

$$|\lambda_{12}| \leq 2\pi,$$

$$|3\lambda_\Phi - \lambda_{12}| \leq \pi,$$

$$\left| 3\lambda + 4(3\lambda_\Phi + \lambda_{12}) \pm \sqrt{(3\lambda - 4(3\lambda_\Phi + \lambda_{12}))^2 + 32\lambda_{h\Phi}^2} \right| \leq 8\pi.$$


$$|\lambda| = \left| \frac{m_h^2 \cos^2 \phi_h + m_{h'}^2 \sin^2 \phi_h}{2v^2} \right| \lesssim \frac{4}{3}\pi \quad \text{in the limit of } \lambda \gg \lambda_{h\Phi}, \lambda_\Phi, \lambda_{12}$$

For  $m_{h'} \gg v$ , we need small  $\phi_h$  to realize  $\lambda \simeq \mathcal{O}(1)$

→ Perturbative unitarity bounds give a viable constraint on  $\phi_h$



# Z<sub>2</sub> parity from Exchange symme.

Exchange trans. (after SSB)

$$\sigma_1 \leftrightarrow \sigma_2, \quad W_{0\mu}^a \leftrightarrow W_{2\mu}^a \quad \left[ \Phi_j = \begin{pmatrix} \frac{v_\Phi + \sigma_j + i\pi_j^0}{\sqrt{2}} & i\pi_j^+ \\ i\pi_j^- & \frac{v_\Phi + \sigma_j - i\pi_j^0}{\sqrt{2}} \end{pmatrix} (j=1, 2) \quad H = \begin{pmatrix} i\pi_3^+ \\ \frac{v + \sigma_3 - i\pi_3^0}{\sqrt{2}} \end{pmatrix} \right]$$

eg. Trans. of neutral scalar:  $\{\sigma_1, \sigma_2, \sigma_3\}$

|   |  |                           |  |   |
|---|--|---------------------------|--|---|
| { | $\frac{\sigma_1 - \sigma_2}{\sqrt{2}} \mapsto -\frac{\sigma_1 - \sigma_2}{\sqrt{2}}$ | <b>Z<sub>2</sub>-odd</b>  | <div style="display: flex; align-items: center; justify-content: center;"> <div style="margin-right: 10px;">No mixing</div> <div style="font-size: 2em;">→</div> </div>                    | <div style="border: 1px solid black; background-color: #e6f2ff; padding: 5px; display: inline-block;"> <b>Physical states</b><br/> <math>h_D = \frac{\sigma_1 - \sigma_2}{\sqrt{2}}</math> </div> |
|   | $\frac{\sigma_1 + \sigma_2}{\sqrt{2}} \mapsto +\frac{\sigma_1 + \sigma_2}{\sqrt{2}}$ | <b>Z<sub>2</sub>-even</b> | <div style="display: flex; align-items: center; justify-content: center;"> <div style="margin-right: 10px;">mixed by <math>\phi_h</math></div> <div style="font-size: 2em;">→</div> </div> | $h$ (125 GeV Higgs)   |
|   | $\sigma_3 \mapsto +\sigma_3$   | <b>Z<sub>2</sub>-even</b> |  | $h'$  |

States are classified by **Z<sub>2</sub> Parity!**

**Exchange symmetry**  $SU(2)_0 \leftrightarrow SU(2)_2 \Rightarrow$  **Z<sub>2</sub> Parity** for physical states

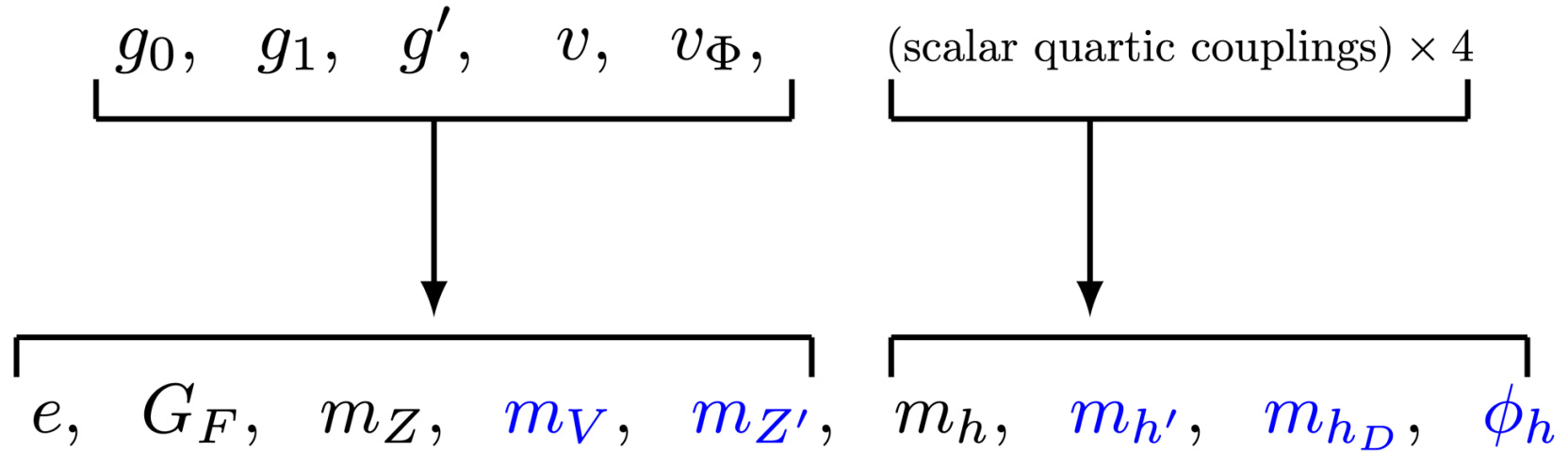


# DM Phenomenology

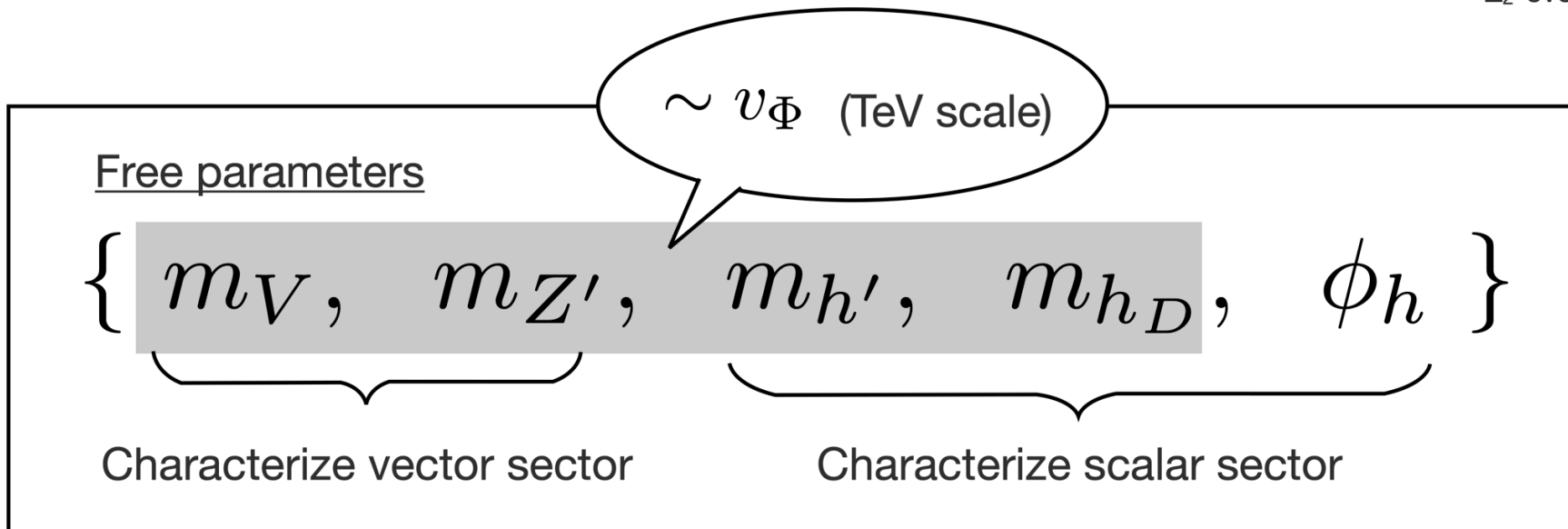


# Parameters

$\left[ \begin{array}{l} g_0 : \text{gauge coupling for } SU(2)_0 \text{ \& } SU(2)_2 \\ g_1 : \text{gauge coupling for } SU(2)_1 \end{array} \right]$



$\phi_h$  : mixing angle of  $Z_2$ -even scalars

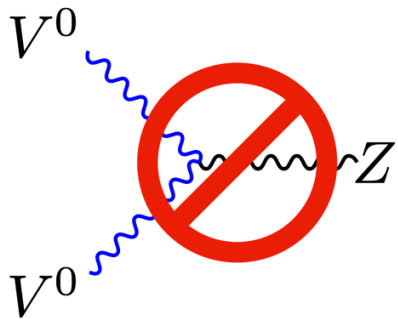


# Scattering Process: DM direct detection

## Direct detection

DM-nucleus scattering is searched, but no significant excess now  
→ Severe constraint on DM-Z coupling & DM-Higgs coupling

## Z-exchange process

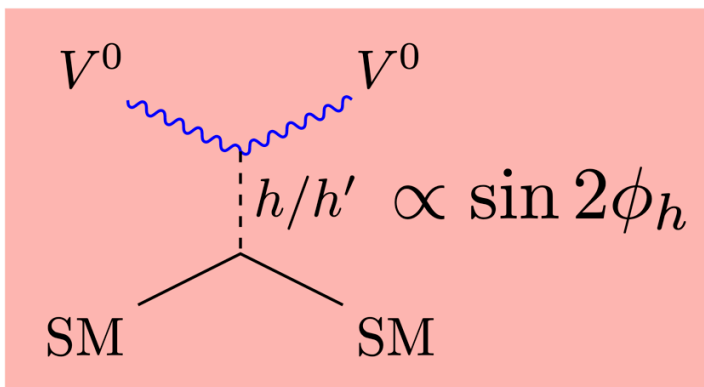


**Neutral boson triple coupling is forbidden**

( $\because$  non-Abelian extension)

→ No Z-exchange in scattering process!

## Higgs-exchange process



**Mixing angle  $\phi_h$  tunes the scattering process**

→ direct detection bounds give upper bound on  $\phi_h$

For sufficiently small  $\phi_h$ ,

$\sigma_{\text{scat}}$  is dominated by 1-loop EW processes

# Thermal relic region

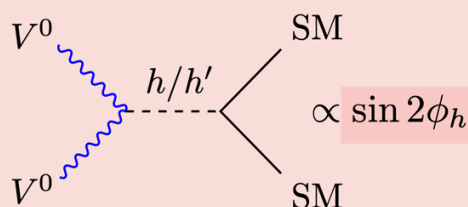
$\phi_h$  : mixing angle btw  $h$  and  $h'$

White region:

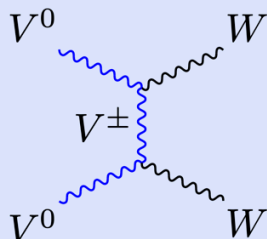
$\Omega h^2 \sim 0.12$  is achieved by adjusting  $\phi_h$

## Annihilation Channel

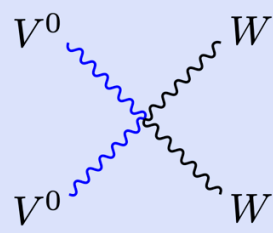
- Higgs channels



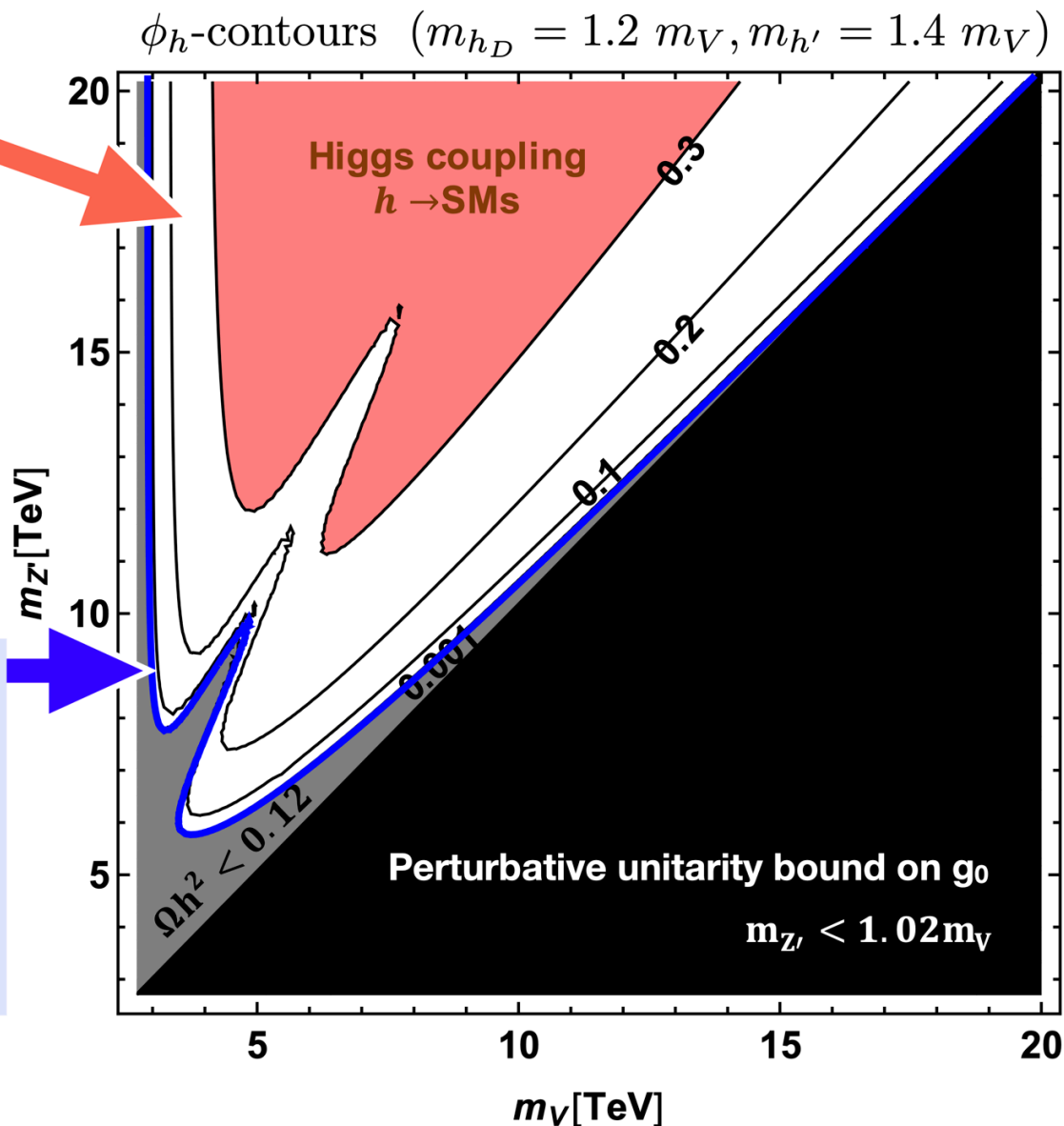
- EW channels



## EW channel only



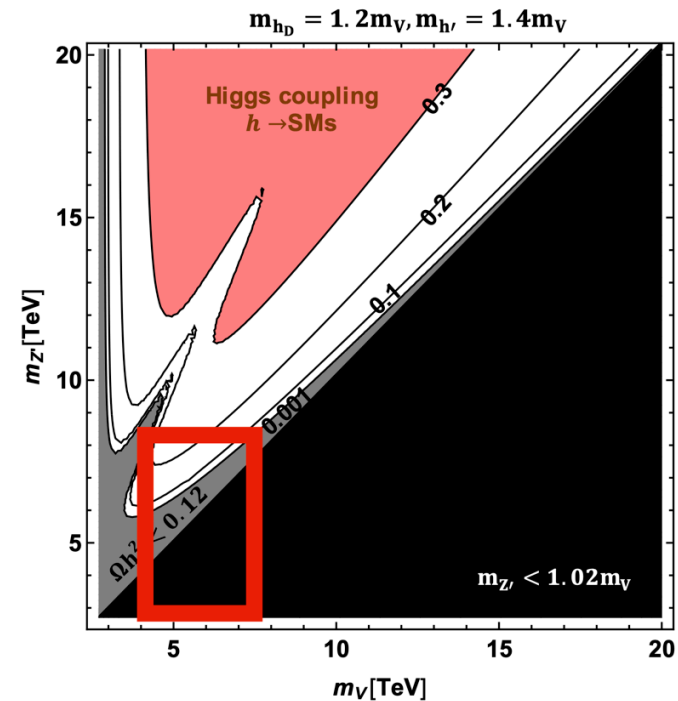
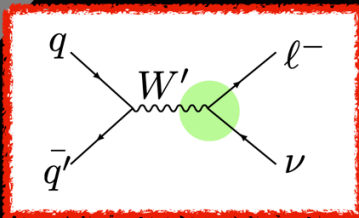
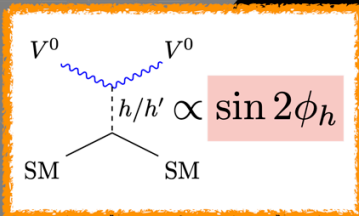
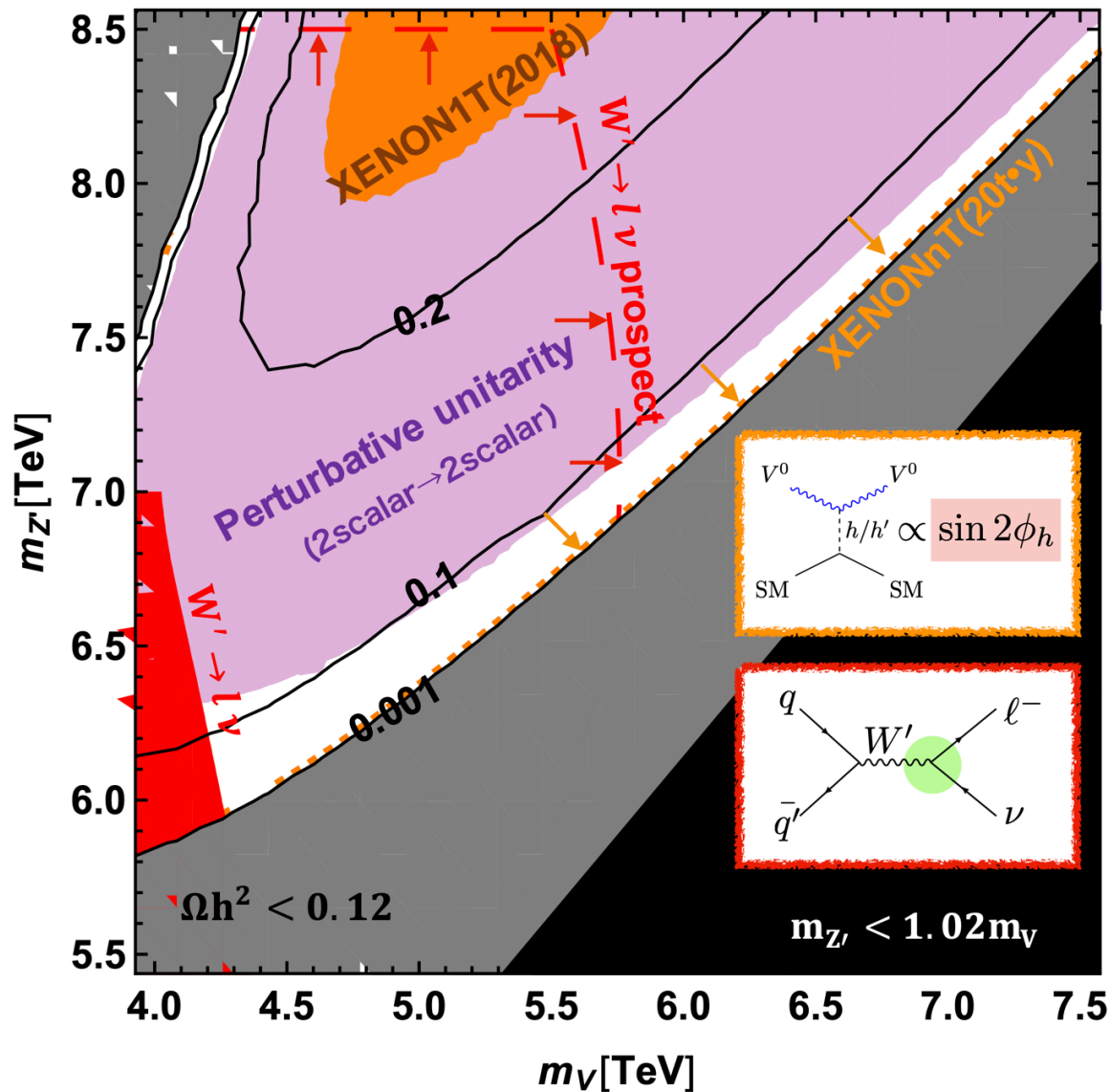
(+ many other channels...)



✳ We need to include Sommerfeld effect in evaluation of  $\Omega h^2$  [Future work is ongoing]

# Constraints

$\phi_h$ -contours ( $m_{h_D} = 1.2 m_V, m_{h'} = 1.4 m_V$ )



- Perturbative unitarity bounds  
(2scalar  $\rightarrow$  2scalar scattering)

$$\rightarrow \phi_h \lesssim 0.1$$

- Direct detection (XENON1T/nT)

$\rightarrow$  probe Higgs contribution to DM annihilation process

-  $W'$  search by LHC/HL-LHC

$\rightarrow$  probe thermal relic scenario  
**even if  $\phi_h \simeq 0$**

■ LHC13TeV 139 fb<sup>-1</sup> [ATLAS Collaboration(2019)] (\* No bound for  $m_{W'} > 7$  TeV)  
- - - HL-LHC14TeV 3000 fb<sup>-1</sup> [ATL-PHYS-PUB-2018-044(2018)]



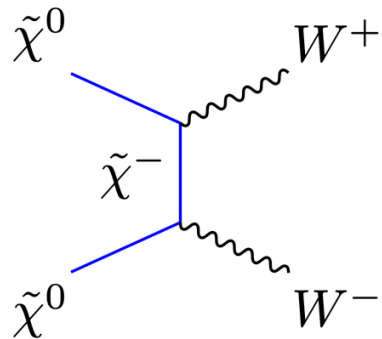
# Vector DM from Extra-dimension



# Model of EW interacting DM

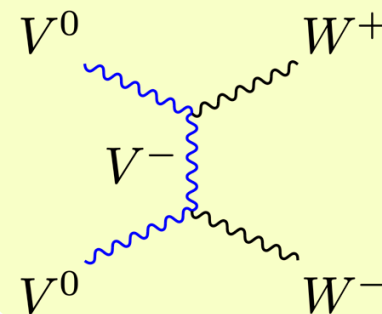
| Supersymmetric DM model  | Model w/ Extra-dimension   |
|--|--|
| <ul style="list-style-type: none"> <li>• SM particles + SUSY partners</li> <li>• <b>R-parity</b> guarantees DM stability</li> <li>• Many DM candidates<br/> <ul style="list-style-type: none"> <li>⊃ <b>Wino DM</b></li> </ul> </li> </ul> | <ul style="list-style-type: none"> <li>• SM particles + Kaluza-Klein (KK) towers</li> <li>• <b>KK-parity</b> guarantees DM stability</li> <li>• Bulk action + Boundary Localized action<br/> <ul style="list-style-type: none"> <li>→ <b>1st KK <math>W_\mu^3</math></b> can be Lightest KK Particle</li> </ul> </li> </ul> <p><small>[T. Flacke, A. Menon, D. J. Phalen (2009)]<br/> [T. Flacke, D. W. Kang, Kyoungchul Kong, Gopolang Mohlabeng, Seong Chan Park (2017)]</small></p> |

**SU(2)<sub>L</sub> triplet spin-1/2**



**VS**

**SU(2)<sub>L</sub> triplet spin-1**



Next pages: Review on Spin-1 DM from Extra-dim.



# Spin-1 DM form extra-dimension

## Universal Extra Dimension (UED) model

- SM particles = 5 dimensional fields propagating in a flat extra dimension
- Orbifold compactification:  $S_1/Z_2$  ( $y \mapsto -y$ )
  - Chiral fermion
  - Switch off massless scalar (associated w/ 5th component of gauge fields)
  - Kaluza-Klein (KK) parity  $\rightarrow$  Lightest KK-odd particle can be stable DM candidate!

## How to study UED model?

- Minimal UED approach
  - Boundary Localized Terms (BLTs) are induced through renormalization group evolution
- Effective Field Theory approach
  - Extra-dimensional theory is Non-renormalizable
  - $\rightarrow$  Introduce BLTs that respect all the symmetries (coefficients = free parameters)

What is the physical effects of **Boundary Localized Terms**?

# BLTs and mass spectrum

[T. Flacke, A. Menon, D. J. Phalen (2009)]

## Scalar theory

$$S = \frac{1}{2} \int d^5x (\partial^M \Phi \partial_M \Phi - m^2 \Phi^2), \left[ \begin{array}{l} r_\Phi : \text{BL kinetic term [mass]}^{-1} \\ m_b^2 : \text{BL mass square [mass]} \end{array} \right]$$

$$+ \frac{1}{2} \int d^5x (r_\Phi \partial^\mu \Phi \partial_\mu \Phi - m_b^2 \Phi^2) [\delta(y) + \delta(y - \pi R)],$$

- BLTs affects Boundary Condition @  $y = 0, \pi R$

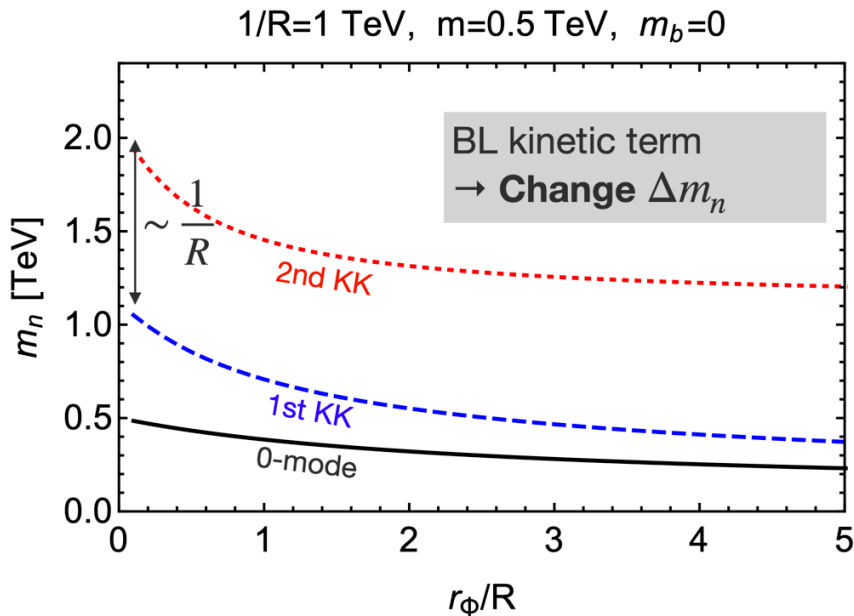
→ **Modify Quantization condition of KK spectrum:**  $m_n$

Boundary conditions

$$\begin{cases} (\partial_5 - r_\Phi \square - m_b^2) \Phi|_{y=0} = 0 \\ (\partial_5 + r_\Phi \square + m_b^2) \Phi|_{y=\pi R} = 0 \end{cases}$$



$$\frac{r_\Phi m_n^2 - m_b^2}{\sqrt{m_n^2 - m^2}} = \begin{cases} -\tan\left(\frac{\pi R}{2} \sqrt{m_n^2 - m^2}\right) \\ \cot\left(\frac{\pi R}{2} \sqrt{m_n^2 - m^2}\right) \end{cases}$$

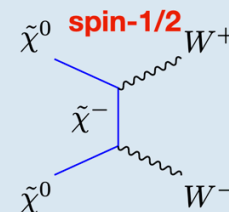


BLTs = rich possibilities of KK mass spectrum

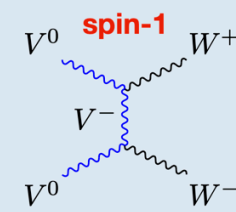
→ 1st KK  $W_\mu^3$  can be Lightest KK Particle

= **SU(2)<sub>L</sub> triplet spin-1 DM**

**Reveal nature of SU(2)<sub>L</sub> triplet spin-1 DM w/ general mass spectrum!**



VS



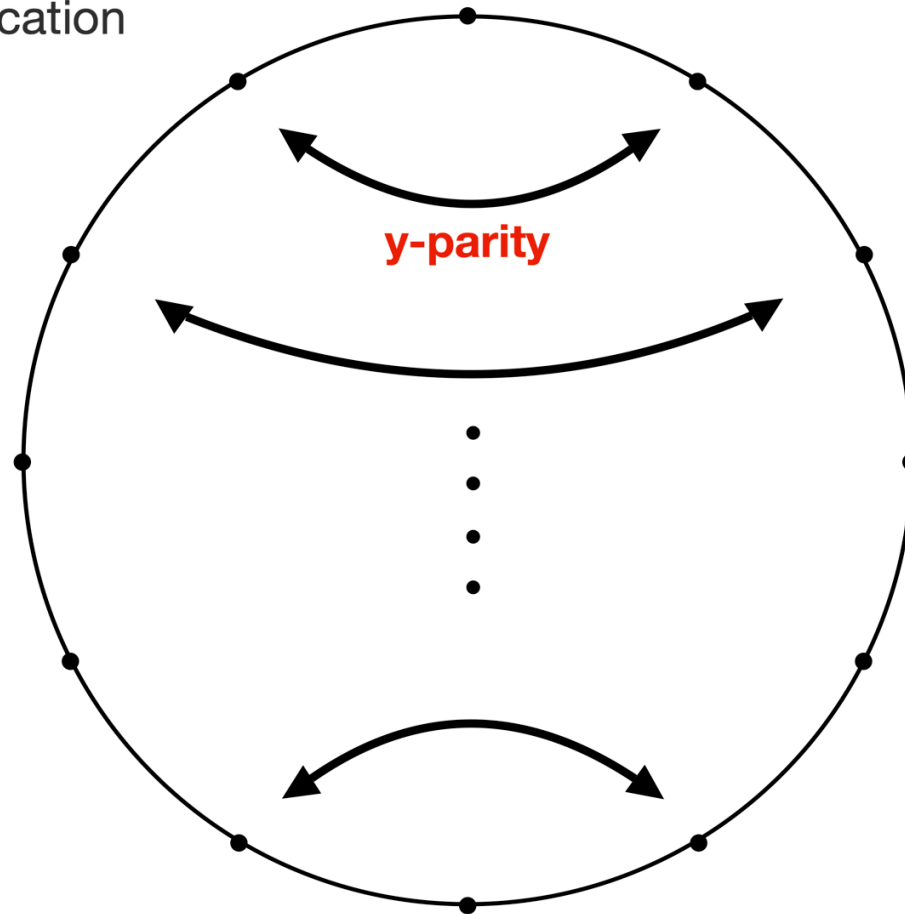
# Deconstructing dimension

[N. Arkani-Hamed, A. G. Cohen, H. Georgi (2001)]

5 dim. SU(2) gauge theory  
w/ Orbifold compactification

$$S_1/Z_2 \quad (y \mapsto -y)$$

$y = 0$  (Fixed point)

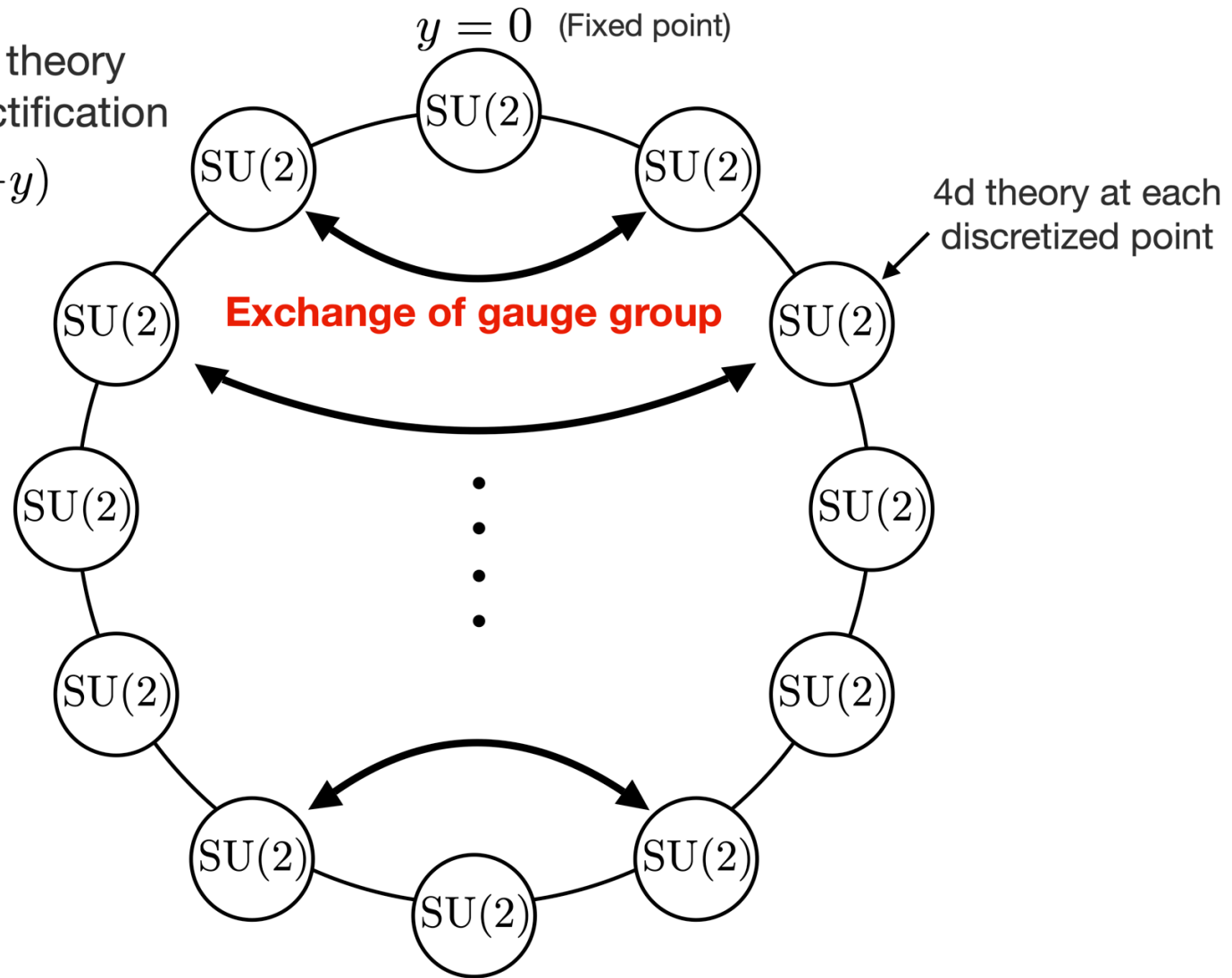


# Deconstructing dimension

[N. Arkani-Hamed, A. G. Cohen, H. Georgi (2001)]

5 dim. SU(2) gauge theory  
w/ Orbifold compactification

$$S_1/Z_2 \quad (y \mapsto -y)$$

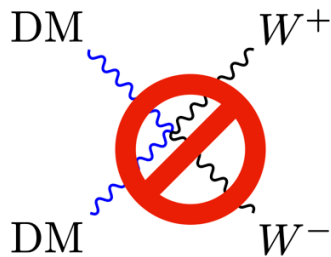


4 dim. picture:

Many direct products of SU(2)s  
w/ **exchange symmetry** of gauge groups!

# Abelian Extension with Exchange Symmetry

CAUTION!



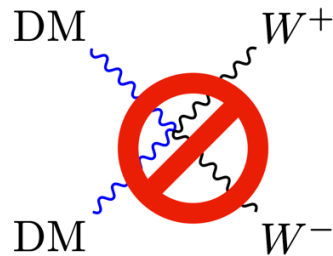
Stable neutral vector **CANNOT** have  
Non-Abelian EW couplings

# Abelian Extension with Exchange Symmetry(1/2)

We can also construct the Abelian extension spin-1 DM model with exchange symmetry

$$SU(2)_L \otimes U(1)_0 \otimes U(1)_1 \otimes U(1)_2$$

Exchange Symmetry



Stable neutral vector **CANNOT** have Non-Abelian EW couplings

## Model

$$\begin{aligned} \mathcal{L} \supset & -\frac{1}{4}(B^0)_{\mu\nu}(B^0)^{\mu\nu} - \frac{1}{4}(B^1)_{\mu\nu}(B^1)^{\mu\nu} - \frac{1}{4}(B^2)_{\mu\nu}(B^2)^{\mu\nu} \\ & + \frac{1}{2}\epsilon_{01} [(B^0)^{\mu\nu} + (B^2)^{\mu\nu}] (B^1)^{\mu\nu} + \frac{1}{2}\epsilon_{02}(B^0)_{\mu\nu}(B^2)^{\mu\nu} \\ & + (D_\mu \Phi_1)^\dagger (D^\mu \Phi_1) + (D_\mu \Phi_2)^\dagger (D^\mu \Phi_2) + (D_\mu H)^\dagger (D^\mu H) \\ & - (\text{Scalar Potential}) \end{aligned}$$

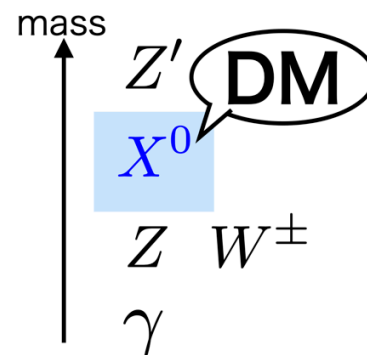
※ We have kinetic mixing terms(2nd line) in this Abelian extension model

| field    | spin          | SU(3) <sub>C</sub> | SU(2) <sub>L</sub> | U(1) <sub>0</sub> | U(1) <sub>1</sub> | U(1) <sub>2</sub> |
|----------|---------------|--------------------|--------------------|-------------------|-------------------|-------------------|
| $q_L$    | $\frac{1}{2}$ | 3                  | 2                  | 0                 | $\frac{1}{6}$     | 0                 |
| $u_R$    | $\frac{1}{2}$ | 3                  | 1                  | 0                 | $\frac{2}{3}$     | 0                 |
| $d_R$    | $\frac{1}{2}$ | 3                  | 1                  | 0                 | $-\frac{1}{3}$    | 0                 |
| $\ell_L$ | $\frac{1}{2}$ | 1                  | 2                  | 0                 | $-\frac{1}{2}$    | 0                 |
| $e_R$    | $\frac{1}{2}$ | 1                  | 1                  | 0                 | -1                | 0                 |
| $H$      | 0             | 1                  | 2                  | 0                 | $\frac{1}{2}$     | 0                 |
| $\Phi_1$ | 0             | 1                  | 1                  | $y_1^0$           | $y_1^1$           | 0                 |
| $\Phi_2$ | 0             | 1                  | 1                  | 0                 | $y_1^1$           | $y_1^0$           |
|          |               |                    | $W_\mu^a$          | $B_\mu^0$         | $B_\mu^1$         | $B_\mu^2$         |

## Spectrum

$$X^0 = \frac{B_\mu^0 - B_\mu^2}{\sqrt{2}}$$

(Z<sub>2</sub>-odd neutral vector)



# Abelian Extension with Exchange Symmetry(2/2)

NOTE: Exchange symmetry forbids  $X^0$  to have EW interactions

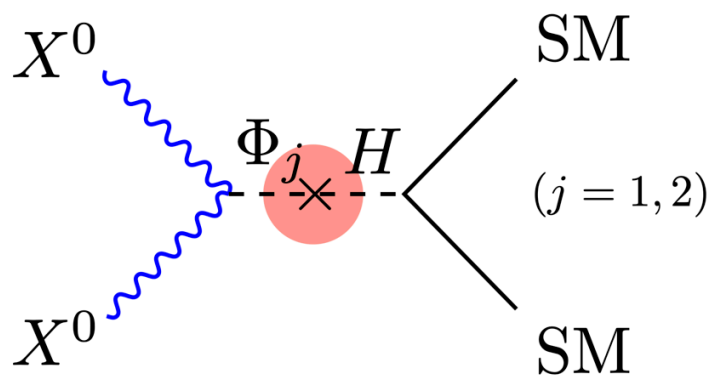
•  $X^0$  do not appear in the  $SU(2)_L$  neutral vector state

$$W_\mu^3 = \#A_\mu + \#Z_\mu + \#Z'_\mu \quad \leftarrow \text{No } X^0 \text{ states}$$

•  $X^0$  do not mix with the other neutral vectors ( $Z_2$ -even) even through the kinetic mixing terms

$$\mathcal{L}_{\text{kinetic}} = \frac{\epsilon_{02}}{4} X_{\mu\nu} X^{\mu\nu} + (\text{mixing btw } Z_2\text{-even vectors})$$

$$X_{\mu\nu} = \partial_\mu X_\nu^0 - \partial_\nu X_\mu^0$$



DM relies on the Higgs mixing in the annihilation process

→ **Strict bound from direct detection**

( That is why we choose the non-Abelian extension approach! )

# Fin.

**Thank you!**

質問・コメント・議論 大歓迎です  
remo/Slack/mail いずれでも対応可能です

2021.09.09 Motoko FUJIWARA